

Agregaty skraplające w obudowie Copeland EazyCool™ ze sprężarkami spiralnymi

Agregaty skraplające chłodzone powietrzem Copeland™ w obudowie do zastosowań średnio- i niskotemperaturowych.

Firma Emerson Climate Technologies opracowała tę serię agregatów skraplających specjalnie do zastosowań zewnętrznych. Najnowsza technologia sprężarek spiralnych została połączona z wysokiej jakości elementami systemu chłodzenia i zabezpieczona obudową o niepowtarzalnej stylistyce, wykonaną z żywicy syntetycznej i odporną na działanie wszelkich warunków atmosferycznych.

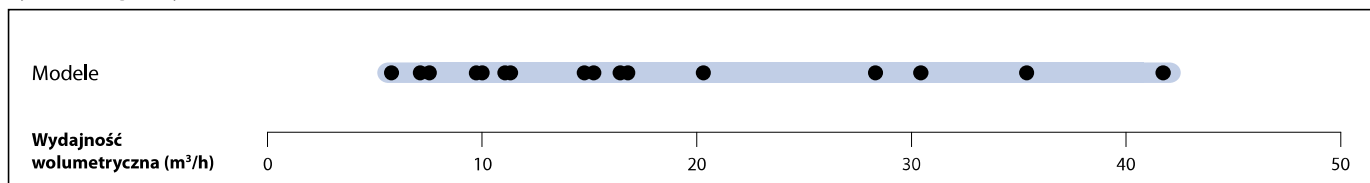
Typoszereg EazyCool wykorzystuje najnowsze rozwiązania techniczne i obejmuje modele wyposażone w płynną regulację wydajności, wtrysk pary i regulator prędkości obrotowej wentylatora. Dlatego też są to urządzenia najczęściej wybierane do zastosowań w handlu spożywczym i gastronomii:

- sklepy spożywcze i osiedlowe
- minimarkety i supermarkety
- bary, restauracje i kuchnie
- piwniczki na alkohole i schładzarki napojów. Urządzenia mają moc od 0,8 do 40 KM i są przeznaczone do czynników R404A, R407A/C, R134a oraz R22.

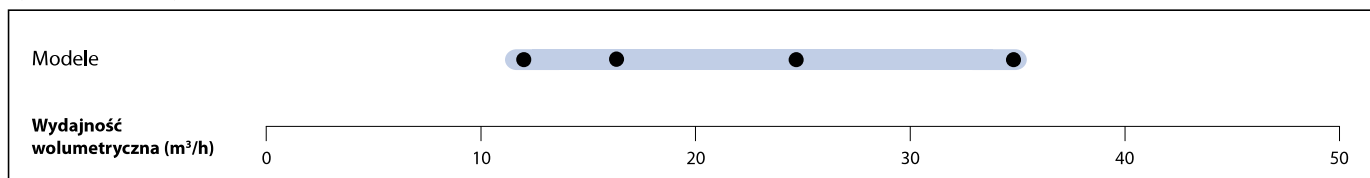


Agregaty skraplające w obudowie Copeland EazyCool ze sprężarkami spiralnymi

Typoszereg EazyCool OLQ/OMQ



Typoszereg EazyCool Digital



Cechy i zalety

- Standardowe wyposażenie: Sprężarki spiralne, grzałki karteru, skraplacz z wentylatorem zabezpieczonym termicznie, kontrola prędkości obrotowej wentylatora, presostat HP/ LP, filtr osuszacz i wziernik, zbiornik cieczy, obudowa odporna na warunki atmosferyczne
- Odpowiednie do wielu czynników chłodniczych: R134a, R407A, R407C oraz R22
- Szeroka oferta akcesoriów wysokiej jakości
- Doskonała efektywność
- Filtr osuszacz, wziernik i zawór elektromagnetyczny w linii cieczerwowej

- Strona niskiego ciśnienia PS 22,5 bar(g)
- Strona wysokiego ciśnienia PS 28 bar(g)

Informacje techniczne

Modele	Wydajność wolumetryczna (m ³ /h)	Pojemność zbiornika (l)	Liczba wentylatorów	Łączna moc silników wentylatorów (W)	Średnica przewodu ssawnego (cal)	Średnica przewodu cieczowego (cal)	Długość/ szerokość/ wysokość (mm)	Masa netto (kg)	Wersja/ kod silnika		Maksymalne natężenie robocze (A)		Natężenie przy zablo-kowanym wirniku (A)		Ciśnienie akustyczne @10 m (dBA) ***
									1 faz.*	3 faz.**	1 faz.*	3 faz.**	1 faz.*	3 faz.**	
Modele średnio temperaturowe															
OMQ-15	5,9	8,1	1	145	7/8	1/2	630/1050/720	74	PFJ	TFD	12,8	4,9	58,0	26	34
OMQ-21	8,6	8,1	1	145	7/8	1/2	630/1050/720	84	PFJ	TFD	16,4	7,2	82,0	40	35
OMQ-26	10,0	8,1	1	145	7/8	1/2	630/1050/720	85	PFJ	TFD	18,0	8,9	97,0	46	35
OMQ-30	11,7	8,1	1	145	7/8	1/2	630/1050/720	98		TFD		10,3		49	36
OMQ-38	14,4	8,1	1	145	7/8	1/2	642/1250/720	99		TFD		12,8		66	37
OMQ-45	17,1	8,1	1	145	7/8	1/2	642/1250/720	118		TFD		13,1		74	39
OMQ-56	20,9	17,7	2	290	1 3/8	5/8	670/2100/950	224		TWD		15,4		99	44
OMTQ-60	11,8	17,7	2	290	1 3/8	5/8	670/2100/950	209		TFD		10,3		49	42
OMQ-75	28,8	17,7	2	290	1 3/8	5/8	670/2100/950	224		TWD		21,7		127	44
OMTQ-76	14,5	17,7	2	290	1 3/8	5/8	670/2100/950	211		TFD		12,8		66	43
OMTQ-90	17,2	17,7	2	550	1 3/8	5/8	670/2100/950	225		TFD		13,1		74	45
OMQ-92	35,6	17,7	2	550	1 3/8	5/8	670/2100/950	246		TWD		25,1		167	46
OMQ-110	42,8	17,7	2	550	1 5/8	5/8	670/2100/950	255		TWD		29,2		198	47
Modele średnio temperaturowe Digital															
OMQ-30D	11,7	8,1	1	145	7/8	1/2	630/1050/720	98		TFD		7,9		0	36
OMQ-45D	17,1	8,1	1	145	7/8	1/2	642/1250/720	118		TFD		12,1		0	39
OMTQ-60D	23,4	17,7	2	290	1 3/8	5/8	670/2100/950	209		TFD		7,9		0	42
OMTQ-90D	34,1	17,7	2	550	1 3/8	5/8	670/2100/950	225		TFD		12,1		0	45
Modele niskotemperaturowe															
OLQ-09	8,0	8,1	1	145	7/8	1/2	630/1050/720	83		TFD		6,0		40	34
OLQ-11	9,9	8,1	1	145	7/8	1/2	630/1050/720	86		TFD		7,1		46	35
OLQ-13	11,8	8,1	1	145	7/8	1/2	630/1050/720	96		TFD		8,0		52	36
OLQ-15	14,5	8,1	1	145	7/8	1/2	642/1250/720	100		TFD		10,0		64	37
OLQ-18	17,1	8,1	1	145	7/8	1/2	642/1250/720	119		TFD		12,5		74	39
OLQ-18V	17,1	7,9	1	145	7/8	1/2	642/1250/720	119		TFD		13,7		74	39
OLQ-24V	20,9	17,7	2	290	1 3/8	5/8	670/2100/950	228		TWD		16,0		99	44
OLTQ-26V	11,8	17,7	2	550	1 3/8	5/8	670/2100/950	221		TFD		9,0		52	42
OLQ-33V	28,8	17,7	2	550	1 3/8	5/8	670/2100/950	228		TWD		21,4		127	44
OLTQ-36V	17,2	17,7	2	550	1 3/8	5/8	670/2100/950	235		TFD		13,7		74	45
OLQ-40V	35,6	17,7	2	550	1 3/8	5/8	670/2100/950	238		TWD		27,0		167	46
OLQ-48V	42,8	17,7	2	550	1 5/8	5/8	670/2100/950	259		TWD		30,6		198	47
Modele niskotemperaturowe digital															
OLQ-18DV	17,1	17,7	2	290	7/8	5/8	670/2100/720	119		TFD		13,8		74	39
OLTQ-36DV	17,1	17,7	2	550	1 3/8	5/8	670/2100/950	235		TFD		13,8		74	45

* 1-faz.: 230 V/ 50 Hz

** 3-faz.: 380-420 V/ 50 Hz

*** w odległości 10 m: ciśnienie akustyczne w odległości 10 m od sprężarki, w polu swobodnym

Dane dotyczące wydajności

Temperatura otoczenia: 32°C															
R134a	Wydajność chłodnicza (kW)							R134a	Moc zasilania (kW)						
	Temperatura parowania (°C)								Temperatura parowania (°C)						
	-45	-35	-30	-20	-10	-5	+5		-45	-35	-30	-20	-10	-5	+5
Modele średnio temperaturowe															
OMQ-15-TFD				1,4	2,2	2,7	3,9	OMQ-15-TFD				1,0	1,1	1,1	1,2
OMQ-21-PFJ				1,8	3,0	3,6	5,1	OMQ-21-PFJ				1,4	1,5	1,6	1,7
OMQ-21-TFD				2,0	3,1	3,8	5,4	OMQ-21-TFD				1,4	1,5	1,6	1,8
OMQ-26-PFJ				2,0*	3,3	4,0	5,7	OMQ-26-PFJ				1,8	1,9	2,0	2,1
OMQ-26-TFD				2,3	3,6	4,4	6,3	OMQ-26-TFD				1,6	1,7	1,8	2,0
OMQ-30-TFD				2,5*	4,2	5,1	7,2	OMQ-30-TFD				1,9	2,0	2,1	2,4
OMQ-38-TFD				3,1*	5,3	6,5	9,4	OMQ-38-TFD				2,1	2,3	2,4	2,6
OMQ-45-TFD				3,9*	6,3	7,7	11,0	OMQ-45-TFD				2,5	2,7	2,9	3,2
OMQ-56-TWD				4,6*	7,3*	9,1	13,0	OMQ-56-TWD				3,3	3,6	3,7	4,0
OMQ-75-TWD				6,4*	9,8*	12,3	17,2	OMQ-75-TWD				4,0	4,6	4,9	5,6
OMQ-92-TWD				8,1*	12,6*	15,7	22,2	OMQ-92-TWD				5,4	5,9	6,2	6,8
OMQ-110-TWD				9,9*	15,2*	19,0	26,6	OMQ-110-TWD				6,6	7,3	7,8	8,6

Warunki: EN13215: temp. gazu na ssaniu 20°C, dochłodzenie 0 K

* Warunki: EN13215: przegrzanie par na ssaniu 10 K

Temperatura otoczenia: 32°C															
R407A	Wydajność chłodnicza (kW)							R407A	Moc zasilania (kW)						
	Temperatura parowania (°C)								Temperatura parowania (°C)						
	-45	-35	-30	-20	-10	-5	+5		-45	-35	-30	-20	-10	-5	+5
Model								Model							
OMQ-15-TFD				2,1	3,3	3,9	5,4	OMQ-15-TFD				1,7	1,8	1,9	2,1
OMQ-21-TFD				2,9	4,4	5,2	7,0	OMQ-21-TFD				2,5	2,8	3,0	3,2
OMQ-26-TFD				3,3	5,2	6,1	8,4	OMQ-26-TFD				2,7	3,0	3,2	3,6
OMQ-30-TFD				3,9	6,1	7,2	9,5	OMQ-30-TFD				3,3	3,7	4,0	4,6
OMQ-38-TFD				5,2	8,1	9,7	13,2	OMQ-38-TFD				3,6	4,0	4,2	4,8
OMQ-45-TFD				5,9	9,0	10,6	14,2	OMQ-45-TFD				4,4	5,0	5,3	5,9
OMTQ-60-TFD				6,3*	11,1*	14,0	20,4	OMTQ-60-TFD				5,7*	6,2*	6,5	7,3
OMTQ-76-TFD				9,4*	14,3*	17,3*	24,0	OMTQ-76-TFD				6,9*	7,8*	8,3*	9,6
OMTQ-90-TFD				12,9*	19,3*	23,1	31,5	OMTQ-90-TFD				8,6*	9,2*	9,5	10,4

Warunki: EN13215: temp. gazu na ssaniu 20°C, dochłodzenie 0 K

* Przegrzanie par na ssaniu 10 K

Dane dotyczące wydajności

Temperatura otoczenia: 32°C															
R407F	Wydajność chłodnicza (kW)							R407F	Moc zasilania (kW)						
	Temperatura parowania (°C)								Temperatura parowania (°C)						
Model	-45	-35	-30	-20	-10	-5	+5	Model	-45	-35	-30	-20	-10	-5	+5
Modele średnio temperaturowe															
OMQ-15					3,1	3,7	5,1	OMQ-15					2,0	2,0	2,2
OMQ-21					4,0*	4,9		OMQ-21					3,0*	3,2	
OMQ-26					4,8*	5,9		OMQ-26					3,4*	3,6	
OMQ-30					5,7*	6,9*		OMQ-30					3,9*	4,2*	
OMQ-38					7,8*	9,6	13,3	OMQ-38					4,4*	4,7	5,3
OMQ-45					8,7*	10,8		OMQ-45					5,3*	5,7	
OMTQ-60					12,4*	15,2		OMTQ-60					7,3*	7,7	
OMTQ-76					14,3*	17,2*		OMTQ-76					9,7*	10,3*	
OMTQ-90				11,7*	18,6*	22,9	31,8	OMTQ-90				9,1*	10,3*	10,9	12,2
Modele średnio temperaturowe Digital															
OMQ-30D					6,1*	7,2*		OMQ-30D					3,5*	3,9*	
OMQ-45D					9,1*	11,1		OMQ-45D					5,0*	5,5	
OMQ-60D					12,6*	15,4		OMQ-60D					7,0*	7,5	
OMQ-90D				11,8*	18,9*	23,2	31,7	OMQ-90D				8,6*	10,0*	10,8	12,4
Modele niskotemperaturowe															
OLQ-09		1,7	2,1	3,2	4,5	5,3		OLQ-09		1,8	1,8	2,0	2,3	2,5	
OLQ-11		2,0	2,5	3,8	5,3			OLQ-11		2,2	2,3	2,5	2,9		
OLQ-13		2,3	2,9	4,4	6,2			OLQ-13		2,6	2,8	3,2	3,8		
OLQ-15		2,9	3,7	5,6	8,1	9,6	13,0	OLQ-15		2,9	3,1	3,6	4,3	4,7	5,9
OLQ-18		3,5	4,4	6,6	9,4	11,1		OLQ-18		3,7	3,9	4,5	5,2	5,7	

Warunki: EN13215: temp. gazu na ssaniu 20°C, dochłodzenie 0 K

* Przeważanie par na ssaniu 10 K

Dane wstępne

Dane dotyczące wydajności

Temperatura otoczenia: 32°C															
R404A	Wydajność chłodnicza (kW)							R404A	Moc zasilania (kW)						
	Temperatura parowania (°C)								Temperatura parowania (°C)						
	-45	-35	-30	-20	-10	-5	+5		-45	-35	-30	-20	-10	-5	+5
Modele średnio temperaturowe															
OMQ-15			1,4	2,3	3,4	3,9	5,2	OMQ-15			1,8	1,9	2,0	2,0	2,1
OMQ-21			2,0*	3,3	4,6	5,3	6,7	OMQ-21			2,5	2,8	3,0	3,1	3,4
OMQ-26			2,3*	3,9	5,4	6,2	8,1	OMQ-26			2,9	3,2	3,4	3,5	3,8
OMQ-30		2,0*	2,6*	4,3	6,0	6,9	8,9	OMQ-30		3,3	3,4	3,8	4,1	4,3	4,7
OMQ-38		2,7*	3,5	5,8	8,2	9,5	12,4	OMQ-38		3,8	3,9	4,3	4,6	4,8	5,2
OMQ-45		3,1*	3,9*	6,6	9,2	10,6	13,7	OMQ-45		4,5	4,6	5,1	5,5	5,7	6,2
OMQ-56			5,6*	8,3	11,5	13,4	17,4	OMQ-56			5,7	6,2	6,7	6,9	7,5
OMQ-75				11,3	15,3	17,4	22,1	OMQ-75				8,2	9,3	9,8	10,9
OMQ-92				10,2	14,9	20,5	30,7	OMQ-92			9,1	10,2	11,2	11,8	13,1
OMQ-110				17,3	23,7	27,3	35,1	OMQ-110				12,7	14,1	14,8	16,4
OMTQ-60		4,3*	5,5	9,4	13,1	15,1	19,6	OMTQ-60		6,2	6,4	7,0	7,5	7,8	8,4
OMTQ-76		5,1*	6,5	11,1	15,1	17,3		OMTQ-76		8,1	8,4	9,3	10,1	10,6	
OMTQ-90		6,5*	9,5	14,2	19,9	23,1	30,2	OMTQ-90		8,7	9,1	9,7	10,3	10,7	11,5
Modele niskotemperaturowe															
OLQ-09		1,9	2,3	3,3	4,5	5,2	6,6	OLQ-09		2,0	2,0	2,3	2,6	2,7	3,2
OLQ-11		2,4	2,8	3,9	5,2	5,9	7,5	OLQ-11		2,4	2,5	2,8	3,2	3,5	4,1
OLQ-13		2,7	3,3	4,7	6,3	7,1	9,0	OLQ-13		2,6	2,7	3,1	3,6	3,9	4,5
OLQ-15		3,4	4,2	6,1	8,3	9,5	12,2	OLQ-15		3,0	3,2	3,6	4,2	4,5	5,3
OLQ-18		4,1	5,0	7,1	9,6	10,9	13,8	OLQ-18		3,7	3,9	4,4	5,0	5,3	6,1
OLQ-24V		7,2	8,8	12,3	16,4	18,6	23,3	OLQ-24V		5,6	6,0	6,9	7,9	8,6	10,1
OLQ-33V		9,9	12,0	16,9	22,8	26,2	33,7	OLQ-33V		7,5	7,9	8,9	10,0	10,7	12,3
OLQ-40V		11,9	15,0	21,5	28,5	32,1	39,3	OLQ-40V		8,7	9,9	12,0	14,1	15,1	17,5
OLQ-48V		14,7	17,7	24,1	30,9	34,4		OLQ-48V		11,2	12,2	14,8	18,2	20,3	
OLTQ-26V		8,0	9,7	13,9	19,3	22,5	30,1	OLTQ-26V		6,3	6,6	7,3	8,1	8,5	9,4
Modele średnio temperaturowe Digital															
OMQ-30D			2,8*	4,6	6,2	7,0	8,8	OMQ-30D			2,5	3,2	3,7	3,9	4,5
OMQ-45D			3,6*	6,6	9,6	11,4	15,5	OMQ-45D			4,2	4,8	5,5	5,9	6,9
OMTQ-60D			5,7*	9,5	13,1	15,2	19,7	OMTQ-60D			5,6	6,5	7,2	7,5	8,3
OMTQ-90D			7,9*	13,9	20,0	23,5	31,5	OMTQ-90D			8,7	9,6	10,4	10,9	12,1
Modele niskotemperaturowe digital															
OLQ-18DV		5,9	6,9	9,5	12,8	14,7		OLQ-18DV		4,5	4,9	5,8	7,0	7,7	
OLTQ-36DV		11,9	14,1	19,5	26,4	30,6		OLTQ-36DV		8,8	9,4	10,9	12,6	13,6	

Warunki: EN13215: temp. gazu na ssaniu 20°C, dochłodzenie 0 K

* Warunki: EN13215: przegrzanie par na ssaniu 10 K

Temperatura otoczenia: 32°C															
R407C	Wydajność chłodnicza (kW)							R407C	Moc zasilania (kW)						
	Temperatura parowania (°C)								Temperatura parowania (°C)						
	-45	-35	-30	-20	-10	-5	+5		-45	-35	-30	-20	-10	-5	+5
Modele średnio temperaturowe															
OMQ-15-TFD				1,9*	2,9	3,5	4,9	OMQ-15-TFD				1,4	1,5	1,6	1,7
OMQ-21-PFJ				2,4*	3,8*	4,7	6,5	OMQ-21-PFJ				2,2	2,4	2,6	2,9
OMQ-21-TFD				2,7*	4,1*	4,9	6,9	OMQ-21-TFD				2,3	2,5	2,7	3,0
OMQ-26-PFJ					4,3*	5,1*	7,2	OMQ-26-PFJ					3,0	3,2	3,7
OMQ-26-TFD				2,8*	4,4*	5,5	7,8	OMQ-26-TFD				2,4	2,6	2,8	3,1
OMQ-30-TFD				3,4*	5,3*	6,4	8,9	OMQ-30-TFD				2,9	3,3	3,6	4,1
OMQ-38-TFD				4,1*	6,8*	8,5	12,2	OMQ-38-TFD				3,2	3,6	3,8	4,4
OMQ-45-TFD				5,9*	8,0*	10,0	13,8	OMQ-45-TFD				3,9	4,4	4,7	5,4
OMQ-56-TWD				6,9*	10,4*	12,7	17,4	OMQ-56-TWD				5,3	5,8	6,1	6,6
OMQ-75-TWD				9,3*	13,7*	16,2*	22,2	OMQ-75-TWD				6,7	7,7	8,2	9,4
OMQ-92-TWD				12,0*	17,8*	21,7	29,6	OMQ-92-TWD				8,4	9,4	10,0	11,1
OMQ-110-TWD				14,2*	21,1*	25,6	34,7	OMQ-110-TWD				10,6	12,0	12,8	14,4
OMTQ-60-TFD				7,2*	11,3*	13,9	19,3	OMTQ-60-TFD				5,6	6,2	6,6	7,4
OMTQ-76-TFD				8,1*	12,9*	15,7*	22,3	OMTQ-76-TFD				6,8	7,8	8,4	9,8
OMTQ-90-TFD				10,6*	17,0*	21,0	29,3	OMTQ-90-TFD				7,8	8,6	9,1	10,1

Warunki: EN13215: temp. gazu na ssaniu 20°C, dochłodzenie 0 K

* Warunki: EN13215: przegrzanie par na ssaniu 10 K

Agregaty skraplające Copeland EazyCool™ w obudowie do wielosprężarkowych sieci chłodniczych

Wielosprężarkowe agregaty skraplające w obudowie Copeland do zastosowań średnio- i niskotemperaturowych.

Firma Emerson Climate Technologies opracowała tę wersję spiralnych agregatów skraplających w obudowie tak, aby może je było łączyć w sieć tworzącą średniej lub dużej wielkości system chłodniczy.

Sieci agregatów skraplających EazyCool doskonale sprawdzają się w zastosowaniach, gdzie wymagana jest większa wydajność oraz jej regulacja.

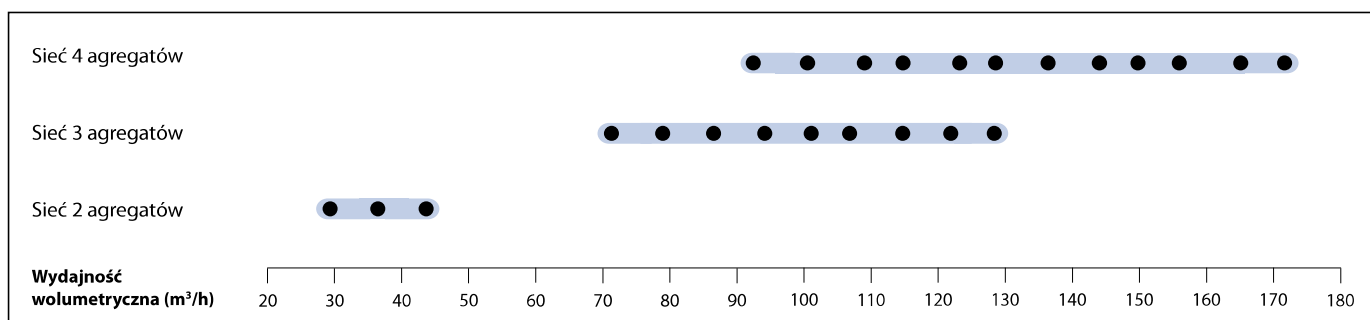
Typowe zastosowania:

- chłodnie i zamrażalnie
- sklepy spożywcze i dyskonty
- minimarkety i supermarkety
- części handlowe stacji benzynowych.



Agregaty skraplające w obudowie Copeland EazyCool do wielosprężarkowych sieci chłodniczych

Typszereg sieci Copeland EazyCool™



Warunki EN13215 R404A: temp. parowania: średniotemp. -10°C/ niskotemp. -35°C, temperatura otoczenia 32°C, temp. gazu na ssaniu 20°C

Cechy i zalety

- Standardowe wyposażenie: Sprężarki Copeland Scroll™, grzałki karteru, skraplacz z wolnoobrotowymi wentylatorami z zabezpieczeniem termicznym, regulator prędkości obrotowej wentylatora, separator oleju, przewody wyrównawcze ssawne i cieczowe, presostat HP/LP, zbiornik oleju, sterownik elektroniczny EC2, obudowa odporna na warunki atmosferyczne
- System kontroli oleju z separatorem oleju, TRAX OIL w każdej sprężarce, przewody olejowe i dodatkowy zbiornik cieczy dla dużych sieci
- Komunikacja jednostek nadrzędnych/podrzędnych LON
- Regulacja wydajności maks. 8 sprężarek lub płynna regulacja dzięki Digital Scroll
- Precyzyjne dostosowanie wydajności dzięki dużej liczbie kombinacji elementów zestawu

Maksymalne dopuszczalne ciśnienia (PS)

- Strona niskiego ciśnienia PS 22,5 bar(g)
- Strona wysokiego ciśnienia PS 28 bar(g)

Dane dotyczące wydajności - OMQ

		Średnia temperatura (-10/+32°C)						
Wydajność wolumetryczna (m³/h)	Moc silnika (kW)	Konfiguracja modeli						
		Sieć dwóch agregatów skraplających						
28,8	14,8	OMQ75 NLO	+	OMQ56 NL				
28,8	17,1	OMQ75 NLO	+	OMQ75 NL				
35,6	19,7	OMQ92 NLO	+	OMQ75 NL				
35,6	22,2	OMQ92 NLO	+	OMQ92 NL				
42,8	25,1	OMQ110 NLO	+	OMQ 92 NL				
42,8	28,0	OMQ110 NLO	+	OMQ110 NL				
Sieć trzech agregatów skraplających								
70,6	21,0	OMQ75 NO	+	OMQ56 N	+	OMQ56 N		
78,5	23,3	OMQ75 NO	+	OMQ75 N	+	OMQ56 N		
86,4	25,7	OMQ75 NO	+	OMQ75 N	+	OMQ75 N		
93,2	28,2	OMQ92 NO	+	OMQ75 N	+	OMQ75 N		
100,0	30,8	OMQ92 NO	+	OMQ92 N	+	OMQ75 N		
106,8	33,3	OMQ92 NO	+	OMQ92 N	+	OMQ92 N		
114,0	36,2	OMQ110 NO	+	OMQ92 N	+	OMQ92 N		
121,2	39,1	OMQ110 NO	+	OMQ110 N	+	OMQ92 N		
128,4	42,0	OMQ110 NO	+	OMQ110 N	+	OMQ110 N		
Sieć czterech agregatów skraplających								
91,5	27,2	OMQ75 NO	+	OMQ56 N	+	OMQ56 N	+	OMQ56 N
99,4	29,5	OMQ75 NO	+	OMQ75 N	+	OMQ56 N	+	OMQ56 N
107,3	31,9	OMQ75 NO	+	OMQ75 N	+	OMQ75 N	+	OMQ56 N
115,2	34,2	OMQ75 NO	+	OMQ75 N	+	OMQ75 N	+	OMQ75 N
122,0	36,8	OMQ92 NO	+	OMQ75 N	+	OMQ75 N	+	OMQ75 N
128,8	39,3	OMQ92 NO	+	OMQ92 N	+	OMQ75 N	+	OMQ75 N
135,6	41,9	OMQ92 NO	+	OMQ92 N	+	OMQ92 N	+	OMQ75 N
142,4	44,4	OMQ92 NO	+	OMQ92 N	+	OMQ92 N	+	OMQ92 N
149,6	47,3	OMQ110 NO	+	OMQ92 N	+	OMQ92 N	+	OMQ92 N
156,8	50,2	OMQ110 NO	+	OMQ110 N	+	OMQ92 N	+	OMQ92 N
164,0	53,1	OMQ110 NO	+	OMQ110 N	+	OMQ110 N	+	OMQ92 N
171,2	56,0	OMQ110 NO	+	OMQ110 N	+	OMQ110 N	+	OMQ110 N

Warunki: EN13215: temp. gazu na ssaniu 20°C, przegrzanie par na ssaniu 10 K

R404A	Niska temperatura (-35/+32°C)							
Wydajność chłodnicza (kW)	Moc silnika (kW)	Konfiguracja modeli						
Sieć dwóch agregatów skraplających								
16,4	13,9	OLQ33V NLO	+	OLQ24V NL				
18,7	16,4	OLQ33V NLO	+	OLQ33V NL				
20,9	17,0	OLQ40V NLO	+	OLQ33V NL				
23,0	17,6	OLQ40V NLO	+	OLQ40V NL				
25,4	20,6	OLQ48V NLO	+	OLQ40V NL				
27,8	23,6	OLQ48V NLO	+	OLQ48V NL				
Sieć trzech agregatów skraplających								
23,4	19,6	OLQ33V NO	+	OLQ24V N	+	OLQ24V N		
25,7	22,1	OLQ33V NO	+	OLQ33V N	+	OLQ24V N		
28,1	24,6	OLQ33V NO	+	OLQ33V N	+	OLQ33V N		
30,2	25,2	OLQ40V NO	+	OLQ33V N	+	OLQ33V N		
32,4	25,8	OLQ40V NO	+	OLQ40V N	+	OLQ33V N		
34,5	26,4	OLQ40V NO	+	OLQ40V N	+	OLQ40V N		
36,9	29,4	OLQ48V NO	+	OLQ40V N	+	OLQ40V N		
39,3	32,4	OLQ48V NO	+	OLQ48V N	+	OLQ40V N		
41,7	35,4	OLQ48V NO	+	OLQ48V N	+	OLQ48V N		
Sieć czterech agregatów skraplających								
30,4	25,3	OLQ33V NO	+	OLQ24V N	+	OLQ24V N	+	OLQ24V N
32,7	27,8	OLQ33V NO	+	OLQ33V N	+	OLQ24V N	+	OLQ24V N
35,1	30,3	OLQ33V NO	+	OLQ33V N	+	OLQ33V N	+	OLQ24V N
37,4	32,8	OLQ33V NO	+	OLQ33V N	+	OLQ33V N	+	OLQ33V N
39,6	33,4	OLQ40V NO	+	OLQ33V N	+	OLQ33V N	+	OLQ33V N
41,7	34,0	OLQ40V NO	+	OLQ40V N	+	OLQ33V N	+	OLQ33V N
43,9	34,6	OLQ40V NO	+	OLQ40V N	+	OLQ40V N	+	OLQ33V N
46,0	35,2	OLQ40V NO	+	OLQ40V N	+	OLQ40V N	+	OLQ40V N
48,4	38,2	OLQ48V NO	+	OLQ40V N	+	OLQ40V N	+	OLQ40V N
50,8	41,2	OLQ48V NO	+	OLQ48V N	+	OLQ40V N	+	OLQ40V N
53,2	44,2	OLQ48V NO	+	OLQ48V N	+	OLQ48V N	+	OLQ40V N
55,6	47,2	OLQ48V NO	+	OLQ48V N	+	OLQ48V N	+	OLQ48V N

Warunki: EN13215: temp. gazu na ssaniu 20°C, przegrzanie par na ssaniu 10 K

Agregaty skraplające w obudowie Copeland EazyCool™ ZX ze sprężarkami spiralnymi

Agregaty skraplające w obudowie o zwartej konstrukcji Copeland do zastosowań średnio- i niskotemperaturowych.

Nowy typoszereg agregatów skraplających w obudowie firmy Emerson Climate Technologies to rozwiązanie do zastosowań chłodniczych z ograniczeniami dotyczącymi dostępnego miejsca i dopuszczalnego hałasu, stanowiące odpowiedź na zwiększające się zapotrzebowanie na efektywne energetycznie agregaty skraplające.

Agregaty skraplające w obudowie Copeland EazyCool ZX posiadają pełne i jedyne w swoim rodzaju wyposażenie. Moduł diagnostyczny sprawdza i wyświetla stan systemu; może on przesłać sygnał alarmowy do zdalnego odbiornika. Wtrysk pary i wtrysk cieczy znacznie zwiększają efektywność systemu i zakres działania. Funkcje zabezpieczenia elektronicznego, separator oleju i oddzielnik cieczy gwarantują optymalne bezpieczeństwo systemu.

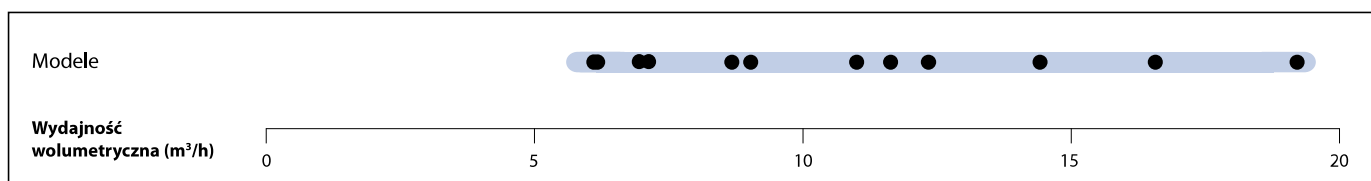
Najniższe koszty w okresie eksploatacji oraz wszechstronne zabezpieczenia sprawiają, że Copeland EazyCool ZX to ekonomiczna i niezawodna alternatywa w następujących zastosowaniach:

- sklepy spożywcze
- chłodnie
- sklepy, bary szybkiej obsługi i restauracje
- schładzarki napojów.

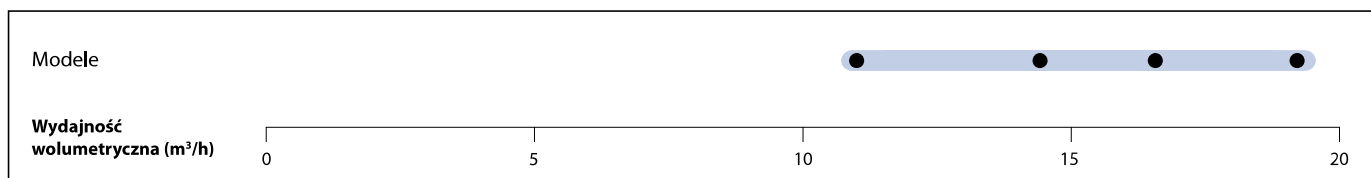


Agregaty skraplające w obudowie Copeland EazyCool ZX ze sprężarkami spiralnymi

Typoszereg Copeland EazyCool ZX



Typoszereg Copeland EazyCool ZX Digital



Cechy i zalety

- Standardowe wyposażenie: sprężarka Copeland Scroll™, grzałka karteru, moduł diagnostyczny, wentylatory z regulacją prędkości obrotowej, zbiornik cieczy, nastawialny presostat LP, automatyczne presostaty zabezpieczające, filtr osuszacz i wziernik, separator oleju i oddzielnik cieczy (tylko modele niskotemperaturowe)
- Modele Copeland EazyCool ZX Digital pozwalają na płynną regulację wydajności w zakresie 10–100%
- Możliwości diagnostyczne chronią urządzenie przed przekroczeniem maksymalnego prądu pracy, zanikiem fazy i asymetrią faz
- Wskaźniki diodowe pokazują stan systemu w czasie rzeczywistym
- Niższe zużycie energii i koszty eksploatacji dzięki doskonałej efektywności energetycznej
- Tłumienie hałasu dzięki niskoobrotowym wentylatorom z sierpowatymi łopatkami oraz kontroli prędkości obrotowej

- Wtrysk pary w modelach niskotemperaturowych
- Oszczędność miejsca dzięki zwartej konstrukcji
- Szybki i łatwy montaż

Maksymalne dopuszczalne ciśnienia (PS)

- Strona niskiego ciśnienia PS 22,5 bar(g)
- Strona wysokiego ciśnienia PS 28,8 bar(g)

Informacje techniczne

Modele	Wydajność wolumetryczna (m ³ /h)	Pojemność zbiornika (l)	Liczba wentylatorów	Łączna moc silników wentylatorów (W)	Średnica przewodu ssawnego (cal)	Średnica przewodu cieczowego (cal)	Długość/ szerokość/ wysokość (mm)	Masa netto (kg)	Wersja/ kod silnika		Maksymalny prąd pracy (A)		Natężenie przy zablokowanym wirniku (A)		Ciśnienie akustyczne @10 m - d(BA)***		
									1 faz.*	3 faz.**	1 faz.*	3 faz.**	1 faz.*	3 faz.**	Tryb nocny	Tryb dzienny	
Modele średnio temperaturowe																	
ZXME020E	5,9	4,4	1	116	3/4	1/2	424/1029/840	76	PFJ	TFD	12,8	4,9	58	26	39	39	
ZXME025E	6,8	4,4	1	116	3/4	1/2	424/1029/840	79	PFJ		12,4		61		40	40	
ZXME030E	8,6	4,4	1	116	3/4	1/2	424/1029/840	79	PFJ	TFD	16,4	7,2	82	40	40	40	
ZXME040E	11,7	4,4	1	116	7/8	1/2	424/1029/840	91	PFJ	TFD	23,5	10,3	114	49,3	40	40	
ZXME050E	14,4	6,3	2	246	7/8	1/2	424/1029/1242	108		TFD		12,8		65,5	41	41	
ZXME060E	17,1	6,3	2	246	7/8	1/2	424/1029/1242	112		TFD		13,1		74	41	41	
ZXME075E	18,8	6,3	2	246	7/8	1/2	424/1029/1242	118		TFD		14		101	42	42	
Modele średnio temperaturowe digital																	
ZXDE040E	11,4	6,3	2	246	7/8	1/2	424/1029/1242	104		TFD		7,9		48	40	40	
ZXDE050E	14,4	6,3	2	246	7/8	1/2	424/1029/1242	108		TFD		11,3		64	41	41	
ZXDE060E	17,1	6,3	2	246	7/8	1/2	424/1029/1242	112		TFD		11,4		74	41	41	
ZXDE075E	18,8	6,3	2	246	7/8	1/2	424/1029/1242	118		TFD		14		100	42	42	
Modele niskotemperaturowe																	
ZXLE020E	6,1	4,4	1	116	3/4	1/2	424/1029/840	79	PFJ	TFD	13,6	5,7	56,6	39,2	39	39	
ZXLE025E	7,1	4,4	1	116	3/4	1/2	424/1029/840	79	PFJ	TFD	15,6	6,1	73,7	39,2	39	39	
ZXLE030E	8,0	4,4	1	116	3/4	1/2	424/1029/840	81	PFJ	TFD	17,8	6,7	82,3	35,7	40	40	
ZXLE040E	12,7	4,4	1	116	7/8	1/2	424/1029/840	93		TFD		9,2		51,5	40	40	
ZXLE050E	14,4	6,3	2	246	7/8	1/2	424/1029/1242	106		TFD		11,9		51,5	41	41	
ZXLE060E	17,1	6,3	2	246	7/8	1/2	424/1029/1242	116		TFD		13,7		74	41	41	
ZXLE075E	18,8	6,3	2	246	7/8	1/2	424/1029/1242	121		TFD		14,6		101	41		

* 1-faz: 230 V/ 50 Hz

** 3-faz: 380-420 V/ 50 Hz

*** w odległości 10 m: ciśnienie akustyczne w odległości 10 m od sprężarki, w polu swobodnym

Dane dotyczące wydajności

Temperatura otoczenia: 32°C																	
R134a	Wydajność chłodnicza (kW)							R134a	Moc zasilania (kW)								
	Temperatura parowania (°C)								Temperatura parowania (°C)								
Model	-45	-35	-30	-20	-10	-5	+5	Model	-45	-35	-30	-20	-10	-5	+5		
Modele średnio temperaturowe																	
ZXME020E				1,4	2,3	2,8	4,0	ZXME020E				1,0	1,0	1,0	1,1		
ZXME025E				1,5	2,6	3,2	4,7	ZXME025E				1,2	1,3	1,3	1,4		
ZXME030E				2,1	3,2	4,0	5,8	ZXME030E				1,3	1,4	1,4	1,5		
ZXME040E				2,8	4,4	5,4	7,8	ZXME040E				1,7	1,8	1,9	2,0		
ZXME050E				3,4	5,5	6,8	9,9	ZXME050E				2,2	2,3	2,4	2,5		
ZXME060E				4,2	6,5	8,0	11,7	ZXME060E				2,5	2,7	2,7	3,0		
ZXME075E				4,8	7,5	9,1	13,2	ZXME075E				3,1	3,2	3,3	3,6		
Modele średnio temperaturowe Digital																	
ZXDE-040E					4,3	5,3	8,0	ZXDE-040E					1,8	1,9	2,0		
ZXDE-050E					5,3	6,5	9,7	ZXDE-050E					2,3	2,4	2,5		
ZXDE-060E					6,3	7,9	11,7	ZXDE-060E					2,7	2,8	3,0		
ZXDE-075E					7,2	8,8	12,7	ZXDE-075E					3,0	3,0	3,3		

Warunki: EN13215: temp. gazu na ssaniu 20°C, dochłodzenie 0 K

Dane wstępne

Dane dotyczące wydajności

Temperatura otoczenia: 32°C															
R407A	Wydajność chłodnicza (kW)							R407A	Moc zasilania (kW)						
	Temperatura parowania (°C)								Temperatura parowania (°C)						
Model	-45	-35	-30	-20	-10	-5	+5	Model	-45	-35	-30	-20	-10	-5	+5
Modele średnio temperaturowe															
ZXME020E				2,4	3,5	4,1	5,6	ZXME020E				1,6	1,7	1,7	1,7
ZXME025E				2,5	3,9	4,7	6,6	ZXME025E				1,6	1,7	1,8	1,9
ZXME030E				3,2	4,9	5,9	8,3	ZXME030E				2,1	2,3	2,4	2,6
ZXME040E				4,5	6,9	8,3	11,5	ZXME040E				2,9	3,2	3,3	3,7
ZXME050E				5,8	8,7	10,4	14,4	ZXME050E				3,5	3,7	3,9	4,3
ZXME060E				6,4	9,8	11,8	16,4	ZXME060E				4,0	4,3	4,5	5,0
ZXME075E				7,4	11,3	13,6	18,9	ZXME075E				4,5	4,9	5,1	5,6
Modele średnio temperaturowe Digital															
ZXDE-040E				4,7	7,3	8,8	12,5	ZXDE-040E				2,7	2,8	2,9	3,1
ZXDE-050E				5,8	8,7	10,4	14,4	ZXDE-050E				3,5	3,7	3,9	4,3
ZXDE-060E				6,4	9,8	11,8	16,4	ZXDE-060E				4,0	4,3	4,5	5,0
ZXDE-075E				7,4	11,3	13,6	18,9	ZXDE-075E				4,5	4,9	5,1	5,6
Modele niskotemperaturowe															
ZXLE020E		1,5	1,9	3,0	4,3	5,1	6,7	ZXLE020E		1,4	1,5	1,6	1,7	1,8	2,0
ZXLE025E		1,8	2,2	3,4	5,0	5,9	7,9	ZXLE025E		1,6	1,7	1,8	2,0	2,0	2,3
ZXLE030E		2,0	2,5	3,9	5,6	6,6	8,7	ZXLE030E		1,8	1,9	2,0	2,2	2,3	2,5
ZXLE040E		3,2	3,9	6,0	8,5	9,9	12,9	ZXLE040E		2,6	2,8	3,2	3,8	4,1	4,8
ZXLE050E		3,6	4,5	6,8	9,7	11,4	14,8	ZXLE050E		3,0	3,2	3,7	4,3	4,6	5,4
ZXLE060E		4,2	5,3	7,9	11,3	13,1		ZXLE060E		3,7	3,9	4,5	5,3	5,7	
ZXLE075E		4,8	5,9	9,0	13,0	15,2	19,9	ZXLE075E		3,8	4,0	4,6	5,3	5,8	6,7

Warunki: EN13215: temp. gazu na ssaniu 20°C, dochłodzenie 0 K Dane wstępne

Temperatura otoczenia: 32°C															
R407F	Wydajność chłodnicza (kW)							R407F	Moc zasilania (kW)						
	Temperatura parowania (°C)								Temperatura parowania (°C)						
Model	-45	-35	-30	-20	-10	-5	+5	Model	-45	-35	-30	-20	-10	-5	+5
Modele średnio temperaturowe															
ZXME020E					3,4	4,1	5,7	ZXME020E					1,6	1,7	1,7
ZXME025E				3,3	5,0	6,0	8,4	ZXME025E				2,2	2,3	2,5	2,7
ZXME030E					4,9	5,9	8,3	ZXME030E					2,3	2,4	2,6
ZXME040E				4,4*	6,9	8,3	11,5	ZXME040E				2,9*	3,2	3,3	3,7
ZXME050E				5,7*	8,6	10,4	14,4	ZXME050E				3,5*	3,7	3,9	4,3
ZXME060E				6,2*	9,7	11,8	16,4	ZXME060E				4,0*	4,3	4,5	5,0
ZXME075E				7,1*	11,2	13,6	18,9	ZXME075E				4,5*	4,9	5,1	5,6
Modele średnio temperaturowe digital															
ZXDE040E				4,7	7,2	8,8	12,4	ZXDE040E				2,8	2,9	3,0	3,2
ZXDE050E				5,7	8,6	10,5	14,6	ZXDE050E				3,7	3,9	4,1	4,5
ZXDE060E				5,9	9,0	10,9	15,1	ZXDE060E				3,9	4,2	4,4	4,8
ZXDE075E				6,7	10,2	12,3	17,2	ZXDE075E				4,3	4,6	4,8	5,2
Modele niskotemperaturowe															
ZXLE020E		1,6	2,0	3,1	4,5	5,3	7,0	ZXLE020E		1,5	1,6	1,7	1,8	1,9	2,2
ZXLE025E		1,8	2,3	3,6	5,3	6,2	8,2	ZXLE025E		1,7	1,8	1,9	2,1	2,2	2,4
ZXLE030E		2,1	2,6	4,0	5,9	6,9	9,1	ZXLE030E		1,9	2,0	2,1	2,3	2,4	2,7
ZXLE040E		3,3	4,1	6,3	8,9	10,4	13,5	ZXLE040E		2,8	2,9	3,4	4,0	4,4	5,1
ZXLE050E		3,8	4,7	7,1	10,2	11,9	15,4	ZXLE050E		3,2	3,4	3,9	4,5	4,9	5,7
ZXLE060E		4,4	5,5	8,3	11,8	13,7		ZXLE060E		3,9	4,1	4,8	5,6	6,1	
ZXLE075E		5,0	6,2	9,4	13,6	15,9	20,8	ZXLE075E		4,0	4,3	4,9	5,7	6,1	7,1

Warunki: EN13215: temp. gazu na ssaniu 20°C, dochłodzenie 0 K Dane wstępne * 10K graniczne

Dane dotyczące wydajności

Temperatura otoczenia: 32°C															
R404A	Wydajność chłodnicza (kW)							R404A	Moc zasilania (kW)						
	Temperatura parowania (°C)								Temperatura parowania (°C)						
	-45	-35	-30	-20	-10	-5	+5		-45	-35	-30	-20	-10	-5	+5
Modele średnio temperaturowe															
ZXME020E-TFD				2,4	3,6	4,2	5,7	ZXME020E-TFD				1,8	1,8	1,8	1,8
ZXME020E-PFJ				2,5	3,6	4,3	5,7	ZXME020E-PFJ				1,5	1,6	1,7	1,7
ZXME025E-PFJ				3,0	4,3	5,1	6,9	ZXME025E-PFJ				1,9	2,0	2,0	2,1
ZXME030E-TFD				3,7	5,3	6,2	8,2	ZXME030E-TFD				2,4	2,5	2,6	2,7
ZXME030E-PFJ				3,8	5,3	6,2	8,3	ZXME030E-PFJ				2,5	2,6	2,7	2,8
ZXME040E-TFD				5,0	7,0	8,2	10,8	ZXME040E-TFD				3,2	3,4	3,5	3,8
ZXME040E-PFJ				4,7	6,8	8,0	10,6	ZXME040E-PFJ				3,2	3,4	3,5	3,8
ZXME050E-TFD				6,4	9,1	10,7	14,4	ZXME050E-TFD				4,0	4,1	4,3	4,5
ZXME060E-TFD				7,3	10,4	12,2	16,2	ZXME060E-TFD				4,6	4,8	5,0	5,3
ZXME075E-TFD				8,4	11,9	13,9	18,5	ZXME075E-TFD				5,1	5,4	5,5	5,9
Modele Digital															
ZXDE040E-TFD				5,0	7,0	8,1	10,7	ZXDE040E-TFD				2,8	3,2	3,3	3,7
ZXDE050E-TFD				6,4	9,0	10,6	14,1	ZXDE050E-TFD				3,6	4,0	4,2	4,7
ZXDE060E-TFD				7,4	10,4	12,2	16,1	ZXDE060E-TFD				4,3	4,9	5,2	5,8
ZXDE075E-TFD				8,4	11,8	13,8	18,2	ZXDE075E-TFD				4,7	5,3	5,6	6,3
Modele niskotemperaturowe															
ZXLE020E		1,9	2,4	3,5	4,9	5,7		ZXLE020E		1,6	1,7	1,9	2,1	2,1	
ZXLE025E		2,2	2,8	4,1	5,8	6,8		ZXLE025E		1,9	2,0	2,2	2,4	2,4	
ZXLE030E		2,6	3,2	4,6	6,4	7,4		ZXLE030E		2,1	2,2	2,3	2,5	2,6	
ZXLE040E		4,0	4,9	7,0	9,6	11,0		ZXLE040E		3,0	3,2	3,6	4,1	4,4	
ZXLE050E		5,0	6,0	8,5	11,5	13,2		ZXLE050E		3,6	3,9	4,4	5,0	5,3	
ZXLE060E		5,8	7,0	9,9	13,2	15,0		ZXLE060E		4,4	4,7	5,4	6,2	6,7	
ZXLE075E		6,5	7,9	11,2	15,3	17,6		ZXLE075E		4,6	4,9	5,5	6,2	6,6	

Warunki: EN13215: temp. gazu na ssaniu 20°C, dochłodzenie 0 K

Agregaty skraplające Copeland Scroll™ do chłodnictwa

Agregaty skraplające chłodzone powietrzem Copeland™ do zastosowań średnio- i niskotemperaturowych

Agregaty skraplające Copeland Scroll są wyposażone w najnowocześniejsze sprężarki spiralne do systemów chłodzących, tworząc wraz z nimi najszerszy asortyment tego typu. Koncepcja modułowa obejmuje jednostki podstawowe, których możliwości można rozbudować przy użyciu dodatkowego wyposażenia, takiego jak osłona zewnętrzna oraz sterownik prędkości obrotowej wentylatora.

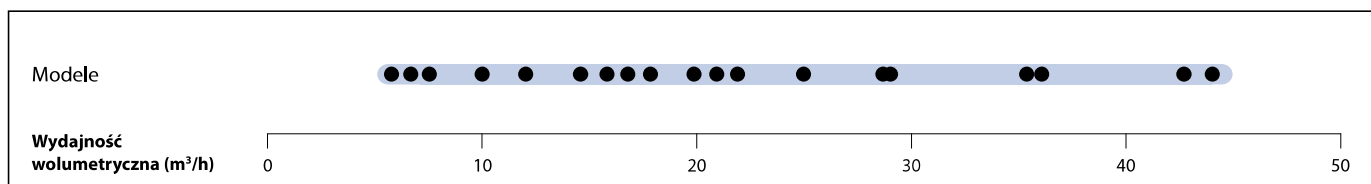
Agregaty skraplające Copeland Scroll są dostępne z typowymi lub powiększonymi skraplaczami, zapewniającymi optymalną wydajność nawet w bardzo trudnych warunkach. Są one wyposażone w odpowiednio dobrane sprężarki średnio- i niskotemperaturowe, dzięki czemu nadają się do ogólnych zastosowań związanych z chłodnictwem, takich jak:

- minimarkety i supermarkety
- bary, restauracje i kuchnie
- piwniczki na alkohole i schładzarki do napojów
- komory chłodnicze
- schładzarki mleka

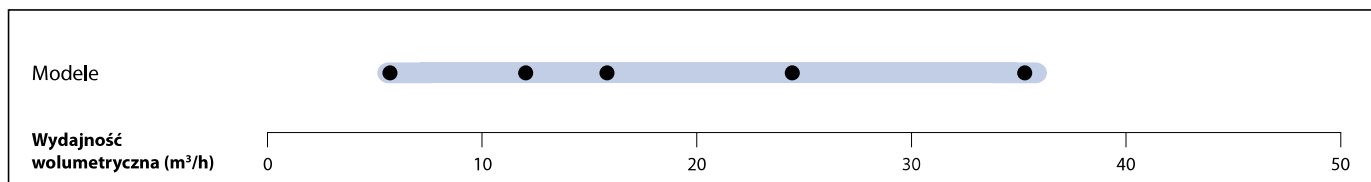


Agregaty skraplające Copeland Scroll

Typoszereg agregatów skraplających Copeland Scroll



Typoszereg agregatów skraplających Copeland Scroll Digital



Cechy i zalety

- Wyposażenie podstawowe: podstawa, sprężarka spiralna, grzałka karteru, skraplacz z wentylatorem 1-faz., presostat HP/LP, zbiornik cieczy z zaworem rotalock, zawory odcinające ssania i tłoczenia
- Odpowiednie do wielu czynników chłodniczych: R404A, R407C, R143a, R407A oraz R407F
- Szeroka oferta akcesoriów wysokiej jakości
- Doskonała efektywność

Maksymalne dopuszczalne ciśnienia (PS)

- Strona niskiego ciśnienia PS 22,5 bar(g)
- Strona wysokiego ciśnienia PS 28 bar(g)

Informacje techniczne

Modele	Wydajność wolumetryczna (m ³ /h)	Pojemność zbiornika (l)	Liczba wentylatorów	Łączna moc silników wentylatorów (W)	Średnica przewodu ssawnego (cal)	Średnica przewodu cieczowego (cal)	Długość/ szerokość/ wysokość (mm)	Waga netto (kg)	Wersja/ kod silnika		Maksymalny prąd pracy (A)		Natężenie przy zablokowanym wirniku (A)		Ciśnienie akustyczne @10 m - d(BA)***
									1 faz.*	3 faz.**	1 faz.*	3 faz.**	1 faz.*	3 faz.**	
Modele średnio temperaturowe															
MC-D8-ZB15KE	5,9	3,9	1	110	3/4	1/2	570/560/446	48	PFJ	TFD	12,8	4,9	58	26	45,8
MC-H8-ZB15KE	5,9	7,9	1	235	3/4	1/2	680/735/533	57	PFJ	TFD	12,8	4,9	58	26	48,6
MC-D8-ZB19KE	6,8	3,9	1	110	3/4	1/2	570/560/446	49	PFJ	TFD	12,8	6,5	61	32	45,9
MC-H8-ZB19KE	6,8	7,9	1	235	3/4	1/2	680/735/533	61	PFJ	TFD	12,8	6,5	61	32	48,7
MC-K9-ZB19KE	6,8	7,9	2	220	3/4	1/2	640/950/454	66,5	PFJ	TFD	12,8	6,5	61	32	47,5
MC-D8-ZB21KE	8,6	3,9	1	110	7/8	1/2	570/560/446	50	PFJ	TFD	16,42	7,2	82	40	46,4
MC-H8-ZB21KE	8,6	7,9	1	235	7/8	1/2	680/735/533	61	PFJ	TFD	16,42	7,2	82	40	48,9
MC-K9-ZB21KE	8,6	7,9	2	220	7/8	1/2	640/950/454	67,5	PFJ	TFD	16,42	7,2	82	40	47,8
MC-H8-ZB26KE	10,0	7,9	1	235	7/8	1/2	680/735/533	62	PFJ	TFD	18	8,85	97	46	48,9
MC-K9-ZB26KE	10,0	7,9	2	220	7/8	1/2	640/950/454	68	PFJ	TFD	18	8,85	97	46	47,8
MC-H8-ZB30KE	11,7	7,9	1	235	7/8	1/2	680/735/533	74	PFJ	TFD	26,4	10,3	142	49,3	49,1
MC-M8-ZB30KE	11,7	7,9	1	235	7/8	1/2	730/735/708	86,5	PFJ	TFD	26,4	10,3	142	49,3	48,6
MC-P8-ZB30KE	11,7	7,9	2	220	7/8	1/2	640/950/633	86,5		TFD		10,3		49,3	48,5
MC-H8-ZB38KE	14,4	7,9	1	235	7/8	1/2	680/735/533	77	PFJ	TFD	32,3	12,8	142	65,5	49,2
MC-M8-ZB38KE	14,4	7,9	1	235	7/8	1/2	730/735/708	89	PFJ	TFD	32,3	12,8	142	65,5	48,8
MC-P8-ZB38KE	14,4	7,9	2	220	7/8	1/2	640/950/633	89	PFJ	TFD	32,3	12,8	142	65,5	48,7
MC-M8-ZB42KE	16,2	7,9	1	235	7/8	1/2	730/735/708	91	PFJ		35,7		150		49,4
MC-R7-ZB42KE	16,2	7,9	2	470	7/8	1/2	680/1130/633	101	PFJ		35,7		150		52,7
MC-M8-ZB45KE	17,1	7,9	1	235	7/8	1/2	730/735/708	91		TFD		13,1		74	49,4
MC-M9-ZB45KE	17,1	7,9	1	400	7/8	1/2	730/735/708	95,5		TFD		13,1		74	49,4
MC-R7-ZB45KE	17,1	7,9	2	470	7/8	1/2	680/1130/633	101		TFD		13,1		74	49,5
MC-R7-ZB50KE	19,8	7,9	2	470	1 3/8	1/2	820/1130/621	110		TFD		14,6		100	49,3
MC-S9-ZB50KE	19,8	11,7	2	470	1 3/8	5/8	820/1130/703	113		TFD		14,6		100	49,7
MC-R7-ZB56KE	20,9	7,9	2	470	1 3/8	1/2	820/1130/633	158		TWD		15,4		99	55,0
MC-S9-ZB56KE	20,9	11,7	2	470	1 3/8	5/8	820/1130/708	170		TWD		15,4		99	54,7
MC-R7-ZB58KE	22,1	7,9	2	470	1 3/8	1/2	820/1130/621	110		TFD		15,6		95	
MC-S9-ZB58KE	22,1	11,7	2	470	1 3/8	5/8	820/1130/703	113		TFD		15,6		95	
MC-S9-ZB66KE	24,9	11,7	2	470	1 3/8	5/8	820/1130/707	116		TFD		17,5		111	50,3
MC-V9-ZB66KE	24,9	15,8	2	470	1 3/8	3/4	820/1330/821	150		TFD		17,5		111	50,2
MC-V9-ZB75KE	28,8	15,8	2	470	1 3/8	3/4	820/1330/835	195		TWD		21,7		127	54,7
MC-V9-ZF33KE	28,8	11,7	2	470	1 3/8	5/8	820/1330/835	195		TWD		22,3		127	54,7
MC-V6-ZB75KE	28,8	15,8	2	800	1 3/8	3/4	820/1330/835	207		TWD		21,7		127	57,4
MC-V9-ZB76KE	29,1	15,8	2	470	1 3/8	3/4	820/1330/835	151		TFD		20,4		118	50,2
MC-V6-ZB76KE	29,1	15,8	2	800	1 3/8	3/4	820/1330/835	168		TFD		20,4		118	54,7
MC-V9-ZB92KE	35,6	15,8	2	470	1 3/8	3/4	820/1330/835	200		TWD		25,1		167	54,7
MC-V6-ZB92KE	35,6	15,8	2	800	1 3/8	3/4	820/1330/835	218		TWD		25,1		167	57,4
MC-V9-ZB95KE	36,4	15,8	2	470	1 3/8	3/4	820/1330/835	155		TFD		28,2		140	50,7
MC-V6-ZB95KE	36,4	15,8	2	800	1 3/8	3/4	820/1330/835	172		TFD		28,2		140	54,7
MC-V6-ZB11ME	42,8	15,8	2	800	1 3/8	3/4	820/1330/835	227		TWD		29,2		198	57,4
MC-W9-ZB11ME	42,8	15,8	2	800	1 3/8	3/4	820/1330/835	227		TWD		29,2		198	57,4
MC-V6-ZB114KE	43,3	15,8	2	800	1 3/8	3/4	820/1330/835	174		TFD		33,3		174	54,7
MC-W9-ZB114KE	43,3	15,8	2	800	1 3/8	3/4	820/1640/864	174		TFD		33,3		174	54,7
Modele średnio temperaturowe Digital															
MC-M8-ZBD30	11,7	11,7	1	235	7/8	5/8	730/735/708	86,5		TFD		7,9		0	48,6
MC-M9-ZBD45	17,1	11,7	1	400	7/8	5/8	730/735/708	95,5		TFD		12,1		0	49,4
MC-V6-ZBDT60	23,4	18,9	2	800	1 3/8	3/4	820/1330/835	207		TFD		7,9		0	57,4
MC-V6-ZBDT90	34,1	18,9	2	800	1 3/8	3/4	820/1330/835	218		TFD		12,1		0	57,4

Warunki EN13215: R404A, temp. parowania: średniotemp. -10°C/ niskotemp. -35°C, temperatura otoczenia 32°C, temp. gazu na ssaniu 20°C

Informacje techniczne

Modele	Pojemność zbiornika (l)	Liczba wentylatorów	Łączna moc silników wentylatorów (W)	Średnica przewodu ssawnego (cal)	Średnica przewodu cieczowego (cal)	Długość/ szerokość/ wysokość (mm)	Waga netto (kg)	Wersja/ kod silnika		Maksymalny prąd pracy (A)		Nateżenie przy zablokowanym wirniku (A)		Ciśnienie akustyczne @10 m - d(BA)***
								1 faz.*	3 faz.**	1 faz.*	3 faz.**	1 faz.*	3 faz.**	
Modele niskotemperaturowe														
MC-B8-ZF06KE	3,3	1	85	7/8	1/2	560/570/396	64		TFD		5		26	47
MC-D8-ZF09KE	3,9	1	110	7/8	1/2	560/570/446	64		TFD		6		40	47
MC-H8-ZF09KE	7,9	1	235	7/8	1/2	735/680/533	66		TFD		6		40	49
MC-H8-ZF11KE	7,9	1	235	7/8	1/2	735/680/533	67		TFD		7		46	49
MC-H8-ZF13KE	7,9	1	235	7/8	1/2	735/680/533	77		TFD		8		52	50
MC-M8-ZF13KE	7,9	1	235	7/8	1/2	735/730/708	85		TFD		8		52	49
MC-H8-ZF15KE	7,9	1	235	7/8	1/2	735/680/533	83		TFD		10		64	50
MC-M8-ZF15KE	7,9	1	235	7/8	1/2	735/730/708	86		TFD		10		64	50
MC-M8-ZF18KE	7,9	1	235	7/8	1/2	735/730/708	88		TFD		13		74	50
MC-M9-ZF18KE	7,9	1	400	7/8	1/2	735/730/708	96		TFD		13		74	50
MC-P8-ZF24KE	7,9	2	220	1 3/8	1/2	950/640/633	146		TWD		16		99	52
MC-S9-ZF24KE	11,7	2	470	1 3/8	1/2	1130/820/708	170		TWD		16		99	54
MC-R7-ZF33KE	11,7	2	470	1 3/8	5/8	1130/820/633	160		TWD		22		127	55
MC-V9-ZF33KE	11,7	2	470	1 3/8	5/8	1330/820/835	195		TWD		22		127	55
MC-S9-ZF40KE	11,7	2	470	1 3/8	5/8	1130/820/708	180		TWD		25		167	55
MC-V6-ZF40KE	11,7	2	800	1 3/8	5/8	1330/820/835	218		TWD		25		167	57
MC-S9-ZF48KE	11,7	2	470	1 3/8	5/8	1130/820/708	189		TWD		29		198	55

Warunki EN13215: R404A, temp. parowania: średniotemp. -10°C/ niskotemp. - 35°C, temperatura otoczenia 32°C, temp. gazu na ssaniu 20°C

* 1-faz.: 230 V/ 50 Hz

** 3-faz.: 380-420 V/ 50 Hz

*** w odległości 10 m: ciśnienie akustyczne w odległości 10 m od sprężarki, w polu swobodnym

Dane dotyczące wydajności

Temperatura otoczenia: 32°C															
R134a	Wydajność chłodnicza (kW)							R134a	Moc zasilania (kW)						
	Temperatura parowania (°C)								Temperatura parowania (°C)						
Model	-45	-35	-30	-20	-10	-5	+5	Model	-45	-35	-30	-20	-10	-5	+5
MC-D8-ZB15KE				1,4	2,2	2,7	3,9	MC-D8-ZB15KE				1,0	1,0	1,1	1,2
MC-D8-ZB15KE				1,4	2,2	2,7	3,9	MC-D8-ZB15KE				1,0	1,0	1,1	1,2
MC-H8-ZB15KE				1,4	2,3	2,8	4,1	MC-H8-ZB15KE				1,1	1,1	1,1	1,2
MC-D8-ZB19KE				1,6	2,5	3,1	4,4	MC-D8-ZB19KE				1,1	1,2	1,3	1,4
MC-D8-ZB19KE				1,6	2,5	3,1	4,4	MC-D8-ZB19KE				1,1	1,2	1,3	1,4
MC-H8-ZB19KE				1,6	2,6	3,2	4,7	MC-H8-ZB19KE				1,2	1,2	1,3	1,3
MC-K9-ZB19KE				1,6	2,6	3,2	4,7	MC-K9-ZB19KE				1,2	1,3	1,3	1,4
MC-D8-ZB21KE				1,9	3,1	3,7	5,3	MC-D8-ZB21KE				1,4	1,5	1,6	1,7
MC-H8-ZB21KE				2,1	3,2	4,0	5,7	MC-H8-ZB21KE				1,4	1,5	1,6	1,8
MC-K9-ZB21KE				2,1	3,2	4,0	5,8	MC-K9-ZB21KE				1,5	1,5	1,6	1,7
MC-H8-ZB26KE				2,3	3,7	4,5	6,5	MC-H8-ZB26KE				1,6	1,7	1,8	1,9
MC-K9-ZB26KE				2,4	3,7	4,5	6,5	MC-K9-ZB26KE				1,7	1,8	1,8	2,0
MC-H8-ZB30KE				2,6	4,2	5,2	7,4	MC-H8-ZB30KE				1,8	1,9	2,0	2,1
MC-M8-ZB30KE				2,8	4,4	5,3	7,7	MC-M8-ZB30KE				1,9	2,0	2,0	2,2
MC-P8-ZB30KE				2,8	4,4	5,4	7,8	MC-P8-ZB30KE				1,9	2,0	2,1	2,3
MC-H8-ZB38KE				3,0	5,1	6,3	8,9	MC-H8-ZB38KE				2,2	2,4	2,5	2,7
MC-M8-ZB38KE				3,1	5,3	6,5	9,3	MC-M8-ZB38KE				2,2	2,4	2,5	2,8
MC-P8-ZB38KE				3,3	5,4	6,6	9,5	MC-P8-ZB38KE				2,3	2,6	2,7	3,0
MC-M8-ZB45KE				3,8	6,2	7,6	10,9	MC-M8-ZB45KE				2,6	2,9	3,0	3,3
MC-M9-ZB45KE				3,9	6,4	7,8	11,3	MC-M9-ZB45KE				2,7	2,9	3,0	3,3
MC-R7-ZB45KE				4,2	6,5	8,0	11,6	MC-R7-ZB45KE				2,8	2,9	3,0	3,2
MC-S9-ZB50KE				4,8	7,5	9,1	13,1	MC-S9-ZB50KE				3,5	3,8	4,0	4,2
MC-R7-ZB58KE				5,2	8,1	9,9	14,1	MC-R7-ZB58KE				3,7	3,8	4,0	4,3
MC-S9-ZB58KE				5,3	8,3	10,2	14,6	MC-S9-ZB58KE				3,8	4,0	4,1	4,5
MC-S9-ZB66KE				6,1	9,4	11,4	16,4	MC-S9-ZB66KE				4,0	4,2	4,4	4,7
MC-V9-ZB66KE				6,2	9,5	11,6	16,7	MC-V9-ZB66KE				4,1	4,3	4,5	4,9
MC-V9-ZB76KE				7,0	10,8	13,1	18,8	MC-V9-ZB76KE				4,2	4,6	4,8	5,3
MC-V6-ZB76KE				7,1	11,1	13,6	19,6	MC-V6-ZB76KE				4,9	5,0	5,2	5,6
MC-V9-ZB95KE				8,3	13,3	16,2	22,9	MC-V9-ZB95KE				5,9	6,3	6,5	7,1
MC-V6-ZB95KE				8,6	13,8	16,9	24,2	MC-V6-ZB95KE				5,9	6,4	6,7	7,4
MC-V6-ZB114KE				9,9	16,1	19,8	28,4	MC-V6-ZB114KE				7,1	7,6	7,9	8,6
MC-W9-ZB114KE					16,7	19,9	28,7	MC-W9-ZB114KE				7,2	7,6	8,0	8,7

Warunki: EN13215: temp. gazu na ssaniu 20°C, dochłodzenie 0 K

Dane dotyczące wydajności

Temperatura otoczenia: 32°C															
R407A	Wydajność chłodnicza (kW)							R407A	Moc zasilania (kW)						
	Temperatura parowania (°C)								Temperatura parowania (°C)						
Model	-45	-35	-30	-20	-10	-5	+5	Model	-45	-35	-30	-20	-10	-5	+5
Modele średnio temperaturowe															
MC-D8-ZB15KE					3,2	3,8	5,3	MC-D8-ZB15KE					1,8	1,9	2,1
MC-H8-ZB15KE**					3,5	4,2	5,9	MC-H8-ZB15KE**					1,7	1,8	1,9
MC-D8-ZB19KE					3,7*	4,5	6,1	MC-D8-ZB19KE					2,2*	2,3	2,5
MC-H8-ZB19KE**					4,1	4,9	6,9	MC-H8-ZB19KE**					2,1	2,2	2,3
MC-K9-ZB19KE**					4,1	4,9	6,8	MC-K9-ZB19KE**					2,1	2,1	2,3
MC-D8-ZB21KE					4,2*	5,1		MC-D8-ZB21KE					2,8*	3,0	
MC-H8-ZB21KE**					4,9	5,8	8,0	MC-H8-ZB21KE**					2,6	2,7	2,8
MC-K9-ZB21KE**					4,8	5,8	7,9	MC-K9-ZB21KE**					2,6	2,7	2,8
MC-H8-ZB26KE					5,4	6,4	8,9	MC-H8-ZB26KE					2,9	3,0	3,4
MC-K9-ZB26KE**					5,4	6,4	8,8	MC-K9-ZB26KE**					2,9	3,0	3,4
MC-H8-ZB30KE					6,3*	7,7		MC-H8-ZB30KE					3,5*	3,8	
MC-M8-ZB30KE**					6,8	8,1	11,1	MC-M8-ZB30KE**					3,3	3,5	3,9
MC-P8-ZB30KE**					6,8	8,2	11,3	MC-P8-ZB30KE**					3,3	3,4	3,8
MC-H8-ZB38KE					7,2*	8,6*		MC-H8-ZB38KE					4,5*	4,9*	
MC-M8-ZB38KE**					7,7*	9,5		MC-M8-ZB38KE**					4,2*	4,5	
MC-P8-ZB38KE**					7,8*	9,6	13,0	MC-P8-ZB38KE**					4,1*	4,4	5,0
MC-M8-ZB42KE				5,56*	8,2*	10,0	13,4	MC-M8-ZB42KE				4,6*	5,1*	5,5	6,0
MC-R7-ZB42KE**				6,0*	9,3	11,1	15,3	MC-R7-ZB42KE**				4,4*	4,8	5,0	5,3
MC-M8-ZB45KE					8,5*	10,3		MC-M8-ZB45KE					5,2*	5,6	
MC-M9-ZB45KE**					9,3	11,0	14,9	MC-M9-ZB45KE**					5,1	5,3	5,8
MC-R7-ZB45KE**					9,6	11,5	15,7	MC-R7-ZB45KE**					4,9	5,1	5,5
MC-R7-ZB50KE**					11,7*	14,6		MC-R7-ZB50KE**					6,9*	7,5	
MC-S9-ZB50KE**					12,7	15,3	21,5	MC-S9-ZB50KE**					6,7	7,1	7,8
MC-R7-ZB58KE					11,1*	13,8		MC-R7-ZB58KE					6,6*	7,1	
MC-S9-ZB58KE**					11,9	14,5	20,4	MC-S9-ZB58KE**					6,3	6,7	7,4
MC-S9-ZB66KE**					13,2	15,9	21,9	MC-S9-ZB66KE**					7,3	7,7	8,7
MC-V9-ZB66KE**					13,8	16,7	23,2	MC-V9-ZB66KE**					6,9	7,3	8,1
MC-V9-ZB76KE					15,8	19,0	26,3	MC-V9-ZB76KE					8,2	8,7	9,8
MC-V6-ZB76KE**					16,7	20,2	28,4	MC-V6-ZB76KE**					8,0	8,4	9,2
MC-V9-ZB95KE					17,4*	21,5		MC-V9-ZB95KE					11,3*	12,1	
MC-V6-ZB95KE**					19,5	23,5	32,6	MC-V6-ZB95KE**					10,7	11,3	12,6
MC-V6-ZB114KE					21,4*	26,8		MC-V6-ZB114KE					13,0*	13,9	
MC-W9-ZB114KE**					22,5	27,4	38,4	MC-W9-ZB114KE**					12,9	13,6	15,4
Modele średnio temperaturowe digital															
MC-M8-ZBD30					6,8	8,1	11,1	MC-M8-ZBD30					3,4	3,6	4,0
MC-M9-ZBD45					9,2	11,0	15,0	MC-M9-ZBD45					4,9	5,2	5,8
MC-V6-ZBDT60				9,4	14,4	17,4	24,3	MC-V6-ZBDT60				6,0	6,4	6,7	7,3
MC-V6-ZBDT90				12,7	19,1	22,8	31,4	MC-V6-ZBDT90				8,8	9,5	9,9	10,9

Warunki: EN13215: temp. gazu na ssaniu 20°C, dochłodzenie 0 K

* Przegrzanie par na ssaniu 10 K

** Modele do wysokiej temperatury otoczenia

Dane wstępne

Temperatura otoczenia: 32°C															
R407A	Wydajność chłodnicza (kW)							R407A	Moc zasilania (kW)						
	Temperatura parowania (°C)								Temperatura parowania (°C)						
Model	-45	-35	-30	-20	-10	-5	+5	Model	-45	-35	-30	-20	-10	-5	+5
Modele niskotemperaturowe															
MC-D8-ZF09KE		1,9	2,3	3,4				MC-D8-ZF09KE		1,9	2,1	2,9			
MC-H8-ZF09KE**		1,9	2,3	3,5	4,9	5,8	7,7	MC-H8-ZF09KE**		1,8	2,1	2,7	3,6	4,2	5,8
MC-H8-ZF11KE		2,1	2,7	4,0	5,7	6,7	9,0	MC-H8-ZF11KE		2,0	2,1	2,4	2,8	3,0	3,5
MC-H8-ZF13KE		2,2	2,8	4,3	6,1	7,1	8,9	MC-H8-ZF13KE		2,3	2,4	2,8	3,1	3,3	3,6
MC-M8-ZF13KE**		2,2	2,8	4,4	6,3	7,3	9,2	MC-M8-ZF13KE**		2,2	2,3	2,6	2,9	3,1	3,3
MC-M9-ZF13KE**		2,2	2,9	4,5	6,5	7,5	9,5	MC-M9-ZF13KE**		2,3	2,4	2,7	3,0	3,1	3,2
MC-H8-ZF15KE		2,7	3,3	5,1	7,3	8,5		MC-H8-ZF15KE		2,8	3,0	3,6	4,1	4,3	
MC-M8-ZF15KE**		2,8	3,4	5,3	7,6	8,9	11,6	MC-M8-ZF15KE**		2,7	2,9	3,4	3,8	3,9	3,8
MC-R7-ZF15KE**		2,8	3,5	5,5	8,0	9,4	12,3	MC-R7-ZF15KE**		2,8	3,0	3,3	3,6	3,7	3,6
MC-M8-ZF18KE		3,3	4,1	6,2	8,8	10,2	13,0	MC-M8-ZF18KE		3,2	3,5	4,2	4,7	4,9	4,5
MC-M9-ZF18KE**		3,3	4,1	6,4	9,1	10,6	13,7	MC-M9-ZF18KE**		3,3	3,5	4,1	4,6	4,6	4,2
MC-S9-ZF18KE**		3,4	4,2	6,6	9,5	11,2	14,5	MC-S9-ZF18KE**		3,2	3,4	3,9	4,3	4,3	3,7
MC-P8-ZF24KE		4,2	5,2	7,8	10,8	12,5		MC-P8-ZF24KE		4,5	4,9	5,7	6,6	7,1	
MC-S9-ZF24KE**		4,4	5,5	8,5	12,2	14,5	19,5	MC-S9-ZF24KE**		4,4	4,7	5,3	6,0	6,4	7,3
MC-R7-ZF33KE		5,9	7,3	10,9	15,3	17,7		MC-R7-ZF33KE		6,0	6,5	7,5	8,8	9,5	
MC-V9-ZF33KE**		6,1	7,7	11,6	16,7	19,7	26,3	MC-V9-ZF33KE**		5,7	6,1	7,0	8,0	8,6	9,9
MC-S9-ZF40KE		7,2	9,0	13,3	18,6	21,5		MC-S9-ZF40KE		7,5	8,1	9,5	11,1	11,9	
MC-V6-ZF40KE**		7,5	9,5	14,4	20,8	24,5	32,9	MC-V6-ZF40KE**		7,3	7,8	8,9	10,2	10,8	12,4
MC-S9-ZF48KE		8,5	10,6	15,4	20,9			MC-S9-ZF48KE		10,1	10,9	12,9	15,2		

Warunki: EN13215: temp. gazu na ssaniu 20°C, dochłodzenie 0 K

* Przegrzanie par na ssaniu 10 K

** Modele do wysokiej temperatury otoczenia

Dane wstępne

Dane dotyczące wydajności

Temperatura otoczenia: 32°C																
R407F	Wydajność chłodnicza (kW)							R407F	Moc zasilania (kW)							
	Temperatura parowania (°C)								Temperatura parowania (°C)							
Model	-45	-35	-30	-20	-10	-5	+5	Model	-45	-35	-30	-20	-10	-5	+5	
Modele średnio temperaturowe																
MC-D8-ZB15KE					3,0	3,7	5,0	MC-D8-ZB15KE					2,0	2,0	2,2	
MC-H8-ZB15KE**					3,4	4,1	5,7	MC-H8-ZB15KE**					1,8	1,9	1,9	
MC-D8-ZB19KE					3,5*	4,3	5,9	MC-D8-ZB19KE					2,4*	2,5	2,8	
MC-H8-ZB19KE**					4,0	4,8	6,7	MC-H8-ZB19KE**					2,2	2,3	2,5	
MC-K9-ZB19KE**					4,0	4,8	6,7	MC-K9-ZB19KE**					2,2	2,3	2,5	
MC-D8-ZB21KE					3,9*	4,7*		MC-D8-ZB21KE					3,0*	3,2*		
MC-H8-ZB21KE**					3,9*	4,7*		MC-H8-ZB21KE**					3,0*	3,2*		
MC-K9-ZB21KE**					4,7	5,6	7,7	MC-K9-ZB21KE**					2,7	2,9	3,1	
MC-H8-ZB26KE					5,1*	6,3	8,6	MC-H8-ZB26KE					3,3*	3,5	3,9	
MC-K9-ZB26KE**					5,1*	6,3	8,6	MC-K9-ZB26KE**					3,3*	3,5	3,9	
MC-H8-ZB30KE					6,1*	7,5		MC-H8-ZB30KE					3,8*	4,0		
MC-M8-ZB30KE**				4,0*	6,6	8,0	11,2	MC-M8-ZB30KE**				3,3*	3,5	3,7	4,1	
MC-P8-ZB30KE**				4,1*	6,7	8,0	11,3	MC-P8-ZB30KE**				3,2*	3,5	3,6	4,0	
MC-H8-ZB38KE					7,0*	8,4*		MC-H8-ZB38KE					5,0*	5,3*		
MC-M8-ZB38KE**					7,6*	9,3		MC-M8-ZB38KE**					4,7*	4,9		
MC-P8-ZB38KE**					7,7*	9,4		MC-P8-ZB38KE**					4,6*	4,9		
MC-M8-ZB45KE					8,4*	10,2*		MC-M8-ZB45KE					5,6*	6,0*		
MC-M9-ZB45KE**					9,1*	11,2	15,5	MC-M9-ZB45KE**					5,4*	5,7	6,4	
MC-R7-ZB45KE**				5,9*	9,7	11,8	16,4	MC-R7-ZB45KE**				4,7*	5,2	5,5	6,0	
MC-R7-ZB58KE					11,7*	14,6		MC-R7-ZB58KE					7,1*	7,6		
MC-S9-ZB58KE**				7,1*	12,4*	15,4	21,5	MC-S9-ZB58KE**				6,0*	6,7*	7,2	8,1	
MC-S9-ZB66KE**					13,6*	16,8		MC-S9-ZB66KE**					7,7*	8,3		
MC-V9-ZB66KE**				8,7*	14,6	17,7	24,6	MC-V9-ZB66KE**				6,6*	7,4	7,8	8,7	
MC-V9-ZB76KE				9,8*	16,3*	20,1	27,8	MC-V9-ZB76KE				7,6*	8,7*	9,4	10,7	
MC-V6-ZB76KE**				10,6*	17,8	21,6	30,2	MC-V6-ZB76KE**				7,61*	8,5	8,9	9,9	
MC-V9-ZB95KE					18,2*	22,2*		MC-V9-ZB95KE					11,9*	12,9*		
MC-V6-ZB95KE**				11,8*	20,2*	25,1	34,8	MC-V6-ZB95KE**				10,0*	11,3*	12,0	13,6	
MC-V6-ZB114KE					22,6*	28,2		MC-V6-ZB114KE					14,0*	15,1		
MC-W9-ZB114KE**				13,3*	23,2*	29,0		MC-W9-ZB114KE**				12,1*	13,7*	14,7		
Modele średnio temperaturowe digital																
MC-M8-ZBD30				4,6*	6,8	8,1	10,9	MC-M8-ZBD30				2,8*	3,3	3,6	4,1	
MC-M9-ZBD45					9,4*	11,6	15,5	MC-M9-ZBD45					5,1*	5,5	6,6	
MC-V6-ZBDT60				9,1*	14,3	17,2	24,0	MC-V6-ZBDT60				6,1*	6,7	6,9	7,6	
MC-V6-ZBDT90				12,1*	19,7	23,7	32,6	MC-V6-ZBDT90				8,7*	10,1	10,7	12,2	
Modele niskotemperaturowe																
MC-B8-ZF06KE**		1,2	1,4	2,1				MC-B8-ZF06KE**		1,5	1,6	1,8				
MC-D8-ZF09KE		1,7	2,1	3,1	4,4	5,2		MC-D8-ZF09KE		1,8	1,8	2,0	2,3	2,5		
MC-H8-ZF09KE**		1,7	2,2	3,3	4,9	5,8	7,9	MC-H8-ZF09KE**		1,8	1,8	1,9	2,2	2,4	2,8	
MC-H8-ZF11KE		2,2	2,7	4,1	5,9	6,9	9,3	MC-H8-ZF11KE		2,1	2,2	2,4	2,7	3,0	3,5	
MC-M8-ZF13KE**		2,4	3,0	4,6	6,8	8,1	11,0	MC-M8-ZF13KE**		2,5	2,6	2,9	3,4	3,7	4,5	
MC-M9-ZF13KE**		2,4	3,1	4,7	7,0	8,3	11,6	MC-M9-ZF13KE**		2,6	2,7	3,0	3,3	3,6	4,3	
MC-H8-ZF13KE		2,4	3,0	4,5	6,5	7,7		MC-H8-ZF13KE		2,6	2,8	3,1	3,6	4,0		
MC-H8-ZF15KE		2,8	3,6	5,3	7,5			MC-H8-ZF15KE		3,2	3,5	4,1	5,0			
MC-M8-ZF15KE**		2,9	3,7	5,5	8,0	9,4		MC-M8-ZF15KE**		3,0	3,3	3,8	4,5	5,0		
MC-R7-ZF15KE**		3,0	3,8	5,8	8,5	10,2	14,0	MC-R7-ZF15KE**		3,1	3,3	3,7	4,2	4,6	5,6	
MC-M8-ZF18KE		3,5	4,3	6,5	9,2	10,8		MC-M8-ZF18KE		3,8	4,1	4,7	5,5	6,0		
MC-M9-ZF18KE**		3,5	4,5	6,8	9,7	11,5		MC-M9-ZF18KE**		3,8	4,0	4,6	5,2	5,7		
MC-S9-ZF18KE**		3,6	4,6	7,1	10,4	12,3	17,0	MC-S9-ZF18KE**		3,7	3,9	4,3	4,9	5,2	6,1	

Warunki: EN13215: temp. gazu na ssaniu 20°C, dochłodzenie 0 K

* Przegrzanie par na ssaniu 10 K

** Modele do wysokiej temperatury otoczenia K

Dane wstępne

Dane dotyczące wydajności

Temperatura otoczenia: 32°C															
R404A	Wydajność chłodnicza (kW)							R404A	Moc zasilania (kW)						
	Temperatura parowania (°C)								Temperatura parowania (°C)						
	-45	-35	-30	-20	-10	-5	+5		-45	-35	-30	-20	-10	-5	+5
Modele średnio temperaturowe															
MC-D8-ZB15KE			1,2*	2,2	3,3	3,8	5,0	MC-D8-ZB15KE			1,8*	1,9	2,0	2,0	
MC-H8-ZB15KE**			1,5	2,5	3,6	4,3	5,8	MC-H8-ZB15KE**			1,8	1,9	1,9	1,9	1,9
MC-D8-ZB19KE			1,7*	2,8	3,9	4,5	5,8	MC-D8-ZB19KE			2,1*	2,3	2,4	2,5	2,7
MC-H8-ZB19KE**			2,0	3,1	4,3	5,1	6,8	MC-H8-ZB19KE**			2,1	2,1	2,2	2,3	2,4
MC-K9-ZB19KE**			2,1	3,1	4,3	5,1	6,8	MC-K9-ZB19KE**			2,0	2,1	2,2	2,3	2,4
MC-D8-ZB21KE			1,9*	3,2	4,4	5,0	6,4	MC-D8-ZB21KE			2,5*	2,8	3,1	3,2	3,5
MC-H8-ZB21KE**			2,4	3,6	5,1	5,9	7,8	MC-H8-ZB21KE**			2,5	2,6	2,7	2,8	3,0
MC-K9-ZB21KE**			2,4	3,6	5,1	5,9	7,8	MC-K9-ZB21KE**			2,4	2,6	2,7	2,8	3,0
MC-H8-ZB26KE			2,4*	4,1	5,7	6,6	8,6	MC-H8-ZB26KE			2,9*	3,1	3,3	3,4	3,7
MC-K9-ZB26KE**			2,4*	4,1	5,7	6,6	8,7	MC-K9-ZB26KE**			2,9*	3,1	3,3	3,4	3,6
MC-H8-ZB30KE	2,1*	2,7	4,6	6,4	7,4	9,6		MC-H8-ZB30KE	3,3*	3,4	3,7	3,9	4,1	4,4	
MC-M8-ZB30KE**	2,2*	3,2	4,8	6,8	7,9	10,5		MC-M8-ZB30KE**	3,1*	3,3	3,4	3,6	3,7	4,0	
MC-P8-ZB30KE**	2,3*	3,3	5,0	7,1	8,3	11,1		MC-P8-ZB30KE**	3,1*	3,2	3,3	3,5	3,5	3,8	
MC-H8-ZB38KE	2,5*	3,2	5,3	7,3	8,4	10,7		MC-H8-ZB38KE	4,2*	4,3	4,8	5,2	5,4	6,0	
MC-M8-ZB38KE**	2,7*	3,4	5,7	8,0	9,2	12,0		MC-M8-ZB38KE**	4,0*	4,1	4,4	4,8	5,0	5,4	
MC-P8-ZB38KE**	2,7*	3,4	5,7	8,0	9,2	12,0		MC-P8-ZB38KE**	4,0*	4,1	4,4	4,8	5,0	5,4	
MC-M8-ZB45KE	3,0*	3,9	6,5	8,9	10,3	13,2		MC-M8-ZB45KE	4,6*	4,8	5,3	5,7	6,0	6,5	
MC-M9-ZB45KE**	3,2*	4,1	6,9	9,6	11,1	14,5		MC-M9-ZB45KE**	4,6*	4,8	5,1	5,5	5,7	6,1	
MC-R7-ZB45KE**	3,3*	4,8	7,1	10,1	11,8	15,6		MC-R7-ZB45KE**	4,6*	4,7	5,0	5,3	5,4	5,8	
MC-R7-ZB50KE		3,1*	7,5	11,4	13,4	17,7		MC-R7-ZB50KE		5,5*	6,0	6,5	6,7	7,2	
MC-S9-ZB50KE**		3,3*	7,9	12,0	14,2	18,9		MC-S9-ZB50KE**		5,3*	5,8	6,1	6,3	6,7	
MC-R7-ZB58KE		4,1*	8,5	12,4	14,5	18,8		MC-R7-ZB58KE		6,1*	6,7	7,3	7,6	8,3	
MC-S9-ZB58KE**		4,4*	8,9	13,1	15,4	20,3		MC-S9-ZB58KE**		5,9*	6,4	6,9	7,1	7,7	
MC-S9-ZB66KE		6,0*	10,3	14,5	16,8	21,7		MC-S9-ZB66KE		6,6*	7,4	7,9	8,2	8,9	
MC-V9-ZB66KE**		6,2*	10,7	15,1	17,6	23,0		MC-V9-ZB66KE**		6,5*	7,1	7,6	7,8	8,5	
MC-V9-ZB76KE		6,9*	12,2	17,2	19,9	25,8		MC-V9-ZB76KE		7,5*	8,3	9,0	9,4	10,3	
MC-V6-ZB76KE**		7,4*	12,9	18,5	21,6	28,7		MC-V6-ZB76KE**		7,4*	8,0	8,6	8,9	9,6	
MC-V9-ZB95KE			12,2*	19,3	22,3	28,7		MC-V9-ZB95KE			11,2*	12,4	13,0	14,3	
MC-V6-ZB95KE**		7,8*	14,9	21,5	25,2	33,1		MC-V6-ZB95KE**		10,2*	10,7	11,4	11,9	13,0	
MC-V6-ZB114KE		8,4*	16,6	24,3	28,4	37,3		MC-V6-ZB114KE		12,5*	13,3	14,3	14,8	16,2	
MC-W9-ZB114KE**		8,5*	16,8	24,6	28,8	38,0		MC-W9-ZB114KE**		12,4*	13,2	14,1	14,7	16,0	
Modele średnio temperaturowe Digital															
MC-M8-ZBD30KE		3,0*	5,0	6,9	8,0	10,5		MC-M8-ZBD30KE		2,5*	3,0	3,4	3,6	4,0	
MC-M9-ZBD45KE		3,7*	6,7	9,9	11,8	16,1		MC-M9-ZBD45KE		4,4*	4,9	5,5	5,8	6,7	
MC-V6-ZBDT60KE		7,0	10,4	14,9	17,6	23,6		MC-V6-ZBDT60KE		5,8	6,3	6,7	7,0	7,5	
MC-V6-ZBDT90KE		8,0*	14,1	20,4	24,1	32,5		MC-V6-ZBDT90KE		8,8*	9,6	10,4	10,8	11,9	

Warunki: EN13215: temp. gazu na ssaniu 20°C, dochłodzenie 0 K

* Warunki: EN13215: przegrzanie par na ssaniu 10 K

** Modele do wysokiej temperatury otoczenia

Dane dotyczące wydajności

Temperatura otoczenia: 32°C															
R407C	Wydajność chłodnicza (kW)							R407C	Moc zasilania (kW)						
	Temperatura parowania (°C)								Temperatura parowania (°C)						
	-45	-35	-30	-20	-10	-5	+5		-45	-35	-30	-20	-10	-5	+5
Model								Model							
MC-V6-ZB11ME				14,5*	21,5*	26,2	35,8	MC-V6-ZB11ME				10,7*	11,8*	12,7	14,1
MC-W9-ZB11ME				14,7*	21,9*	26,6	36,5	MC-W9-ZB11ME				10,5*	11,7*	12,4	13,7
MC-D8-ZB15KE				1,8*	3,0	3,6	5,1	MC-D8-ZB15KE				1,6*	1,6	1,7	1,8
MC-H8-ZB15KE**				1,9*	3,2	3,9	5,6	MC-H8-ZB15KE**				1,6*	1,6	1,6	1,7
MC-D8-ZB19KE				2,0*	3,2*	4,0	5,7	MC-D8-ZB19KE				1,7*	1,9*	2,0	2,2
MC-H8-ZB19KE**				2,2*	3,5	4,3	6,3	MC-H8-ZB19KE**				1,7*	1,8	1,9	2,0
MC-K9-ZB19KE**				2,2*	3,5	4,3	6,3	MC-K9-ZB19KE**				1,7*	1,8	1,9	2,0
MC-D8-ZB21KE				2,6*	4,0*	4,9*	6,8	MC-D8-ZB21KE				2,2*	2,5*	2,6*	3,0
MC-H8-ZB21KE**				2,9*	4,6	5,5	7,8	MC-H8-ZB21KE**				2,1*	2,3	2,4	2,6
MC-K9-ZB21KE**				2,8*	4,6	5,5	7,7	MC-K9-ZB21KE**				2,1*	2,3	2,4	2,6
MC-D8-ZR22KE				1,6*	2,6*	3,2*	4,7*	MC-D8-ZR22KE				1,3*	1,4*	1,5*	1,6*
MC-H8-ZR22KE**				1,7*	2,7*	3,4*	5,0*	MC-H8-ZR22KE**				1,4*	1,4*	1,4*	1,5*
MC-H8-ZB26KE				3,3*	5,1*	6,3	8,8	MC-H8-ZB26KE				2,5*	2,7*	2,9	3,2
MC-K9-ZB26KE**				3,3*	5,1*	6,2	8,7	MC-K9-ZB26KE**				2,5*	2,7*	2,9	3,2
MC-H8-ZB30KE				4,0*	5,9*	7,1	9,7	MC-H8-ZB30KE				3,0*	3,4*	3,6	4,0
MC-M8-ZB30KE**				4,2*	6,2*	7,5	10,4	MC-M8-ZB30KE**				2,8*	3,2*	3,3	3,7
MC-P8-ZB30KE**				4,2*	6,3	7,5	10,5	MC-P8-ZB30KE**				2,8*	3,1	3,3	3,6
MC-H8-ZB38KE					7,0*	8,4*	11,4	MC-H8-ZB38KE					4,3*	4,5*	5,3
MC-M8-ZB38KE**				4,9*	7,5*	9,1	12,3	MC-M8-ZB38KE**				3,6*	3,9*	4,2	4,7
MC-P8-ZB38KE**				4,9*	7,5*	9,1	12,5	MC-P8-ZB38KE**				3,6*	3,9*	4,1	4,6
MC-M8-ZB42KE				5,3*	7,9*	9,4*	13,0	MC-M8-ZB42KE				4,5*	4,9*	5,1*	5,6
MC-R7-ZB42KE**				5,7*	8,8	10,5	14,7	MC-R7-ZB42KE**				4,3*	4,6	4,7	4,8
MC-M8-ZB45KE				5,4*	8,2*	9,8*	13,8	MC-M8-ZB45KE				4,3*	4,8*	5,1*	5,9
MC-M9-ZB45KE**				5,6*	8,7*	10,7	14,8	MC-M9-ZB45KE**				4,2*	4,6*	4,9	5,5
MC-R7-ZB45KE**				5,8*	9,1	11,1	15,5	MC-R7-ZB45KE**				4,1*	4,5	4,7	5,1
MC-R7-ZB50KE**				5,7*	10,1	12,3	17,1	MC-R7-ZB50KE**				5,0*	5,5	5,7	6,3
MC-S9-ZB50KE**				6,1*	10,5	12,8	17,8	MC-S9-ZB50KE**				4,8*	5,2	5,4	6,0
MC-R7-ZB56KE				6,8*	10,2*	12,4	17,0	MC-R7-ZB56KE				5,6*	6,1*	6,4	7,0
MC-S9-ZB56KE				7,0*	10,8	12,9	17,8	MC-S9-ZB56KE				5,4*	5,9	6,1	6,6
MC-S9-ZB66KE**					13,3	15,9	22,0	MC-S9-ZB66KE**					6,7	7,1	7,9
MC-V9-ZB66KE**				9,0*	13,8	16,5	23,0	MC-V9-ZB66KE**				5,8*	6,4	6,7	7,3
MC-V6-ZB75KE				10,1*	15,4	18,5	25,7	MC-V6-ZB75KE				6,5*	7,2	7,6	8,3
MC-V9-ZB75KE				9,7*	14,5*	17,7	24,2	MC-V9-ZB75KE				6,5*	7,3*	7,8	8,7
MC-V9-ZB76KE				10,0*	15,6	18,7	26,0	MC-V9-ZB76KE				6,9*	7,7	8,1	9,1
MC-V6-ZB76KE**				10,4*	16,3	19,7	27,6	MC-V6-ZB76KE**				6,9*	7,5	7,7	8,5
MC-R7-ZR81KE				5,7*	9,4*	11,6*	16,4*	MC-R7-ZR81KE				4,5*	5,0*	5,3*	5,9*
MC-S9-ZR81KE				5,9*	9,7*	12,0*	17,2*	MC-S9-ZR81KE				4,4*	4,8*	5,0*	5,5*
MC-V6-ZB92KE				12,2*	18,1*	22,1	30,3	MC-V6-ZB92KE				8,5*	9,4*	9,9	11,0
MC-V9-ZB92KE				11,7*	17,2*	20,8	28,0	MC-V9-ZB92KE				8,7*	9,8*	10,5	11,8
MC-V9-ZB95KE				10,3*	17,3	21,0	29,8	MC-V9-ZB95KE				9,1*	10,3	11,0	12,7
MC-V6-ZB95KE**				11,1*	18,5	22,7	32,7	MC-V6-ZB95KE**				8,8*	9,7	10,2	11,5
MC-W9-ZB114KE**				13,6*	22,2	26,9	37,7	MC-W9-ZB114KE**				10,7*	11,9	12,5	14,0

Warunki: EN13215: temp. gazu na ssaniu 20°C, dochłodzenie 0 K

* Przegrzanie par na ssaniu 10 K

** Modele do wysokiej temperatury otoczenia K

Dane wstępne

Agregat sprężarkowy Copeland Scroll™ Digital HLR

Agregaty sprężarkowe Copeland Scroll Digital są perfekcyjnym wyborem do systemów ze zdalnym skraplaczem.

Agregaty sprężarkowe digital Copeland Scroll to nowatorskie rozwiązanie Emerson Climate Technologies do zastosowań w gastronomii i handlu detalicznym. Zwarta konstrukcja i możliwość regulacji wydajności sprężarek Digital Scroll zapewniają łatwą integrację z instalacją oraz najwyższą efektywność systemu chłodniczego.

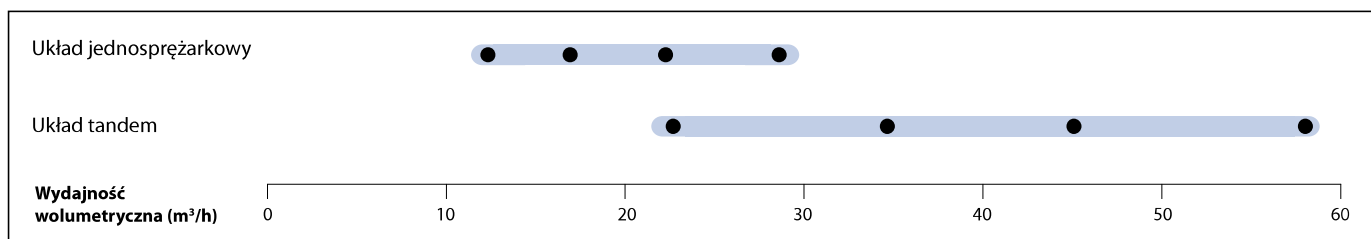
Osiem modeli jednosprężarkowych lub typu tandem spełnia potrzeby związane z chłodnictwem średniotemperaturowym w różnych zastosowaniach. Płynna regulacja wydajności zawsze zapewnia właściwą wydajność, szczególnie w systemach z wieloma parownikami i ze zmiennym obciążeniem. Koncepcja zdalnego skraplacza umożliwia optymalną integrację w budynkach.



Agregat sprężarkowy Digital HLR



Typoszerzeg agregatów sprężarkowych Digital HLR



Cechy i zalety

- Standardowe wyposażenie: sprężarka Digital Scroll, zbiornik ciecży, przewód cieczowy z filtrem osuszaczem i wziernikiem, presostat HP/LP, w pełni wyposażona skrzynka elektryczna z zabezpieczeniem przeciwprzeciążeniowym i interfejsem komunikacyjnym
- Płynna regulacja wydajności 10–100% (układ jednosprężarkowy) lub 5–100% (układ tandem)
- Precyzyjna regulacja ciśnienia ssania
- Maksymalna elastyczność systemu dzięki możliwości wyboru skraplaczy dowolnej firmy
- Doskonała efektywność energetyczna
- Wysoka niezawodność
- Szybki i łatwy montaż oraz niezawodność

Maksymalne dopuszczalne ciśnienia (PS)

- Strona niskiego ciśnienia PS 22,5 bar(g)
- Strona wysokiego ciśnienia PS = 28/32 bar(g)

Informacje techniczne

Modele	Wydajność wolumetryczna (m ³ /h)	Pojemność zbiornika (l)	Średnica przewodu ssawnego (cal)	Średnica przewodu cieczowego (cal)	Długość/ szerokość/ wysokość (mm)	Waga netto (kg)	Wersja/ kod silnika		Maksymalny prąd pracy (A)		Natężenie przy zablokowanym wirniku (A)		Ciśnienie akustyczne @1 m dB(A)***	
							1 faz.**	3 faz.**	1 faz.*	3 faz.**	1 faz.*	3 faz.**	bez osłony akustycznej	z osłoną akustyczną
Modele agregatów jednosprężarkowych														
HLR13-ZBD30KE	11,7	13	7/8	5/8	690/400/710	72	TFD		8		52		59	49
HLR13-ZBD45KE	17,1	13	7/8	5/8	690/400/710	75	TFD		12		74		61	51
HLR13-ZBD58KE	22,1	13	1 1/8	3/4	725/400/710	84	TFD		15		95		65	55
HLR13-ZBD76KE	28,8	13	1 3/8	3/4	725/400/710	90	TFD		20		118		66	56
Modele agregatów dwusprężarkowych (tandem)														
HLR31-ZBDT60KE	23,4	31	1 3/8	7/8	970/480/910	130	TFD		8+8		52 + 52		62	-
HLR31-ZBDT90KE	34,1	31	1 3/8	7/8	970/480/910	138	TFD		12 + 12		74 + 74		64	-
HLR31-ZBDT116KE	44,2	31	1 5/8	1 1/8	970/480/870	165	TFD		15 + 15		95 + 95		68	-
HLR31-ZBDT152KE	58,2	31	1 5/8	1 3/8	970/480/870	175	TFD		20 + 20		118 + 118		69	-

Warunki EN12900: R404A, temperatura parowania -10°C, temperatura skraplania 45°C, temp. gazu na ssaniu 20°C

Dane dotyczące wydajności

Temperatura skraplania: 40°C															
R134a	Wydajność chłodnicza (kW)							R134a	Moc zasilania (kW)						
	Temperatura parowania (°C)								Temperatura parowania (°C)						
Model	-45	-35	-30	-20	-10	-5	+5	Model	-45	-35	-30	-20	-10	-5	+5
Modele agregatów jednosprężarkowych															
HLR13-ZBD30KCE					4,3	5,2	7,5	HLR13-ZBD30KCE					1,9	2,0	2,2
HLR13-ZBD45KCE					6,0	7,5	11,2	HLR13-ZBD45KCE					2,7	2,9	3,1
HLR13-ZBD58KCE					7,8	9,7	14,4	HLR13-ZBD58KCE					3,8	3,8	3,9
HLR31-ZBD76KCE					10,2	12,7	18,9	HLR31-ZBD76KCE					4,9	5,0	5,1
Modele agregatów dwusprężarkowych (tandem)															
HLR31-ZBDT60KCE					8,3	10,3	15,2	HLR31-ZBDT60KCE					3,9	4,0	4,2
HLR31-ZBDT90KCE					12,1	15,1	22,6	HLR31-ZBDT90KCE					5,5	5,6	5,9
HLR31-ZBDT116KCE					15,6	19,4	28,8	HLR31-ZBDT116KCE					7,5	7,6	7,8
HLR31-ZBDT152KCE					20,4	25,3	37,8	HLR31-ZBDT152KCE					9,8	9,9	10,2

Warunki: EN13215: temp. gazu na ssaniu 20°C, dochlódzenie 0 K

Dane wstępne

Temperatura skraplania: 40°C															
R407A	Wydajność chłodnicza (kW)							R407A	Moc zasilania (kW)						
	Temperatura parowania (°C)								Temperatura parowania (°C)						
Model	-45	-35	-30	-20	-10	-5	+5	Model	-45	-35	-30	-20	-10	-5	+5
Modele agregatów jednosprężarkowych															
HLR13-ZBD30KCE				4,0*	6,8	8,4	12,4	HLR13-ZBD30KCE				3,2*	3,1	3,2	3,2
HLR13-ZBD45KCE				5,5*	9,4	11,7	17,2	HLR13-ZBD45KCE				4,4*	4,3	4,4	4,4
Modele agregatów dwusprężarkowych (tandem)															
HLR31-ZBDT60KCE				8,0*	13,6	16,8	24,6	HLR31-ZBDT60KCE				6,2*	6,2	6,2	6,3
HLR31-ZBDT90KCE				11,4*	18,9	23,2	34,1	HLR31-ZBDT90KCE				8,7*	8,8	8,8	8,8

Warunki: EN13215: temp. gazu na ssaniu 20°C, dochlódzenie 0 K

* Przegrzanie par na ssaniu 10 K

Dane wstępne

Dane dotyczące wydajności

Temperatura skraplania: 40°C															
R407F	Wydajność chłodnicza (kW)							R407F	Moc zasilania (kW)						
	Temperatura parowania (°C)								Temperatura parowania (°C)						
Model	-45	-35	-30	-20	-10	-5	+5	Model	-45	-35	-30	-20	-10	-5	+5
HLR13-ZBD30KCE			2,8*	4,8	7,3	8,8	12,8	HLR13-ZBD30KCE			2,0*	2,5	2,8	2,9	3,1
HLR13-ZBD45KCE				6,4*	10,8	13,2	18,9	HLR13-ZBD45KCE				3,7*	4,1	4,3	4,6
HLR31-ZBDT60KCE				8,9*	14,5	17,7	25,7	HLR31-ZBDT60KCE				5,4*	5,7	5,8	6,0
HLR31-ZBDT90KCE				12,4*	21,2	26,1	37,9	HLR31-ZBDT90KCE				7,8*	8,4	8,5	8,8

Warunki: EN12900: temperatura skraplania 45°C, temp. gazu na ssaniu 20°C, dochłodzenie 0 K

*Warunki: EN12900: temperatura skraplania 45°C, przegrzanie par na ssaniu 10 K

Temperatura skraplania: 45°C															
R404A	Wydajność chłodnicza (kW)							R404A	Moc zasilania (kW)						
	Temperatura parowania (°C)								Temperatura parowania (°C)						
	-45	-35	-30	-20	-10	-5	+5		-45	-35	-30	-20	-10	-5	+5
Modele agregatów jednosprężarkowych															
HLR13-ZBD30KCE			2,7*	4,8	7,0	8,4	11,8	HLR13-ZBD30KCE			2,4*	2,9	3,1	3,2	3,5
HLR13-ZBD45KCE			3,4*	6,6	10,2	12,5	18,0	HLR13-ZBD45KCE			4,4*	4,6	4,8	4,9	5,2
HLR13-ZBD58KCE				8,6	13,5	16,3	22,9	HLR13-ZBD58KCE				6,4	6,4	6,4	6,4
HLR13-ZBD76KCE				11,8	17,9	21,4	30,2	HLR13-ZBD76KCE				8,1	8,3	8,3	8,4
Modele agregatów dwusprężarkowych (tandem)															
HLR31-ZBDT60KCE			5,4*	9,6	14,1	16,9	23,6	HLR31-ZBDT60KCE			4,9*	5,8	6,3	6,5	6,9
HLR31-ZBDT90KCE			7,0*	13,4	20,3	24,5	35,0	HLR31-ZBDT90KCE			9,2*	9,4	9,6	9,7	9,9
HLR31-ZBDT116KE			6,4*	17,0	26,7	32,4	45,8	HLR31-ZBDT116KE			13,1*	12,7	12,7	12,7	12,8
HLR31-ZBDT152KE				23,7	35,7	42,9	60,3	HLR31-ZBDT152KE				16,2	16,4	16,5	16,8

Warunki: EN12900: temperatura skraplania 45°C, temp. gazu na ssaniu 20°C, dochłodzenie 0 K

*Warunki: EN12900: temperatura skraplania 45°C, przegrzanie par na ssaniu 10 K

Temperatura skraplania: 40°C															
R407C	Wydajność chłodnicza (kW)							R407C	Moc zasilania (kW)						
	Temperatura parowania (°C)								Temperatura parowania (°C)						
Model	-45	-35	-30	-20	-10	-5	+5	Model	-45	-35	-30	-20	-10	-5	+5
Modele agregatów jednosprężarkowych															
HLR13-ZBD30KCE					6,2	7,6	11,1	HLR13-ZBD30KCE					3,0	3,0	3,0
HLR13-ZBD45KCE					8,9	11,1	16,5	HLR13-ZBD45KCE					4,1	4,1	4,2
Modele agregatów dwusprężarkowych (tandem)															
HLR31-ZBDT60KCE					12,2*	15,2	22,2	HLR31-ZBDT60KCE					6,0*	6,0	6,1
HLR31-ZBDT90KCE					17,5*	22,2	32,9	HLR31-ZBDT90KCE					8,3*	8,3	8,4

Warunki: EN13215: temp. gazu na ssaniu 20°C, dochłodzenie 0 K

*Przegrzanie par na ssaniu 10 K

Półtermiczne agregaty skraplające DK/DL

Agregaty skraplające chłodzone powietrzem Copeland™ do zastosowań średnio- i niskotemperaturowych.

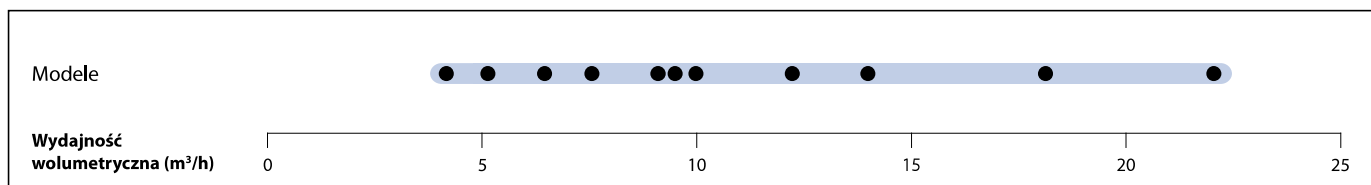
Agregaty skraplające ze sprężarkami z zaworami listkowymi to efekt wieloletnich badań i doświadczenia produkcyjnego. Ich doskonała jakość i niezawodność są dobrze znane w branży chłodniczej.

Ta seria agregatów skraplających jest wyposażona w pojedynczy wentylator lub w dwa wentylatory, co pozwala na zachowanie niewielkich wymiarów. Szeroka gama modeli zapewnia rozwiązania dla większości zastosowań, również w przypadku skrajnych warunków eksploatacji, takich jak wysokie temperatury parowania i wysokie temperatury otoczenia.



Półtermiczny agregat skraplający DK/DL

Typozereg półtermicznych średnitemperaturowych agregatów skraplających DK/DL



Cechy i zalety

- Standardowe wyposażenie: sprężarka, skraplacz z wentylatorami z zabezpieczeniami termicznymi, przewód tłoczny z elastyczną pętlą lub amortyzatorem drgań, zbiornik cieczy z zaworem odcinającym, presostat HP/LP z przełącznikiem automatycznym
- Odpowiednie do szerokiej gamy czynników chłodniczych: R404A, R507, R134a, R407A/C, R22
- Szeroka oferta akcesoriów wysokiej jakości
- Potwierdzona niezawodność

Maksymalne dopuszczalne ciśnienia (PS)

- Strona niskiego ciśnienia PS 22,5 bar(g)
- Strona wysokiego ciśnienia PS = 28 bar(g)

Informacje techniczne

Modele	Wydajność wolumetryczna (m ³ /h)	Liczba wentylatorów	Łączna moc silników wentylatorów (W)	Średnica przewodu ssawnego (cal)	Średnica przewodu cieczowego (cal)	Długość/ szerokość/ wysokość (mm)	Masa netto (kg)	Wersja/ kod silnika		Maksymalny prąd pracy (A)		Natężenie przy zablokowanym wirniku (A)		Ciśnienie akustyczne @ 10 m - d(BA)***
								1 faz.*	3 faz.**	1 faz.*	3 faz.**	1 faz.*	3 faz.**	
B8-KM-5X-B		1	85	5/8	1/2	570/560/396	56	CAG	EWL	4,8	1,8	24	12,2	39
B8-KM-7X-B	4,0	1	85	1/2	1/2	570/560/396	57,5		EWL		2,4		12,2	
B8-KJ-7X-B	4,0	1	85	5/8	1/2	570/560/396	57,5	CAG	EWL	5,8	2,3	34,5	12,2	
B8-KJ-10X-B	5,1	1	85	5/8	1/2	570/560/396	57,5	CAG	EWL	7,1	3,2	32,4	15,5	39,4
B8-KSJ-10X-B	6,3	1	85	5/8	1/2	570/560/396	58,5	CAG	EWL	6,7	2,7	32,4	15,5	
B8-KL-15X-B	7,4	1	85	5/8	1/2	570/560/396	57,5	CAG	EWL	8,4	3,4	43	19,1	39,5
D8-KSJ-15X-B	6,3	1	110	7/8	1/2	570/560/446	62	CAG	EWL	9,0	3,4	43	19,1	45,6
D8-KSL-15X-B		1	110	5/8	1/2	570/560/446	60		EWL		3,3		20,4	
D8-KSL-20X-B	9,1	1	110	5/8	1/2	570/560/446	60		EWL		4,7		20,4	
D8-LE-20X-B	9,9	1	110	7/8	1/2	715/560/446	96,5		EWL		5,7		37,6	
D8-LF-20X-B	12,9	1	110	7/8	1/2	715/560/446	98,5		EWL		5,5		37,6	
H8-KSL-20X-B	9,1	1	235	5/8	1/2	680/735/533	60		EWL		4,7		20,4	
H8-LJ-20X-B	9,5	1	235	7/8	1/2	680/735/533	103		EWL		5,6		37,6	
H8-LE-20X-B	9,9	1	235	7/8	1/2	680/735/533	108		EWL		5,7		37,6	
H8-LF-30X-B	12,9	1	235	7/8	1/2	680/735/533	108		EWL		7,2		53	48,5
P8-LF-30X-B	12,9	2	220	1 1/8	1/2	640/950/633	127		EWL		7,2		53	47,8
H8-LJ-30X-B	14,5	1	235	7/8	1/2	680/735/533	108		EWL		8,1		53	48,5
P8-LJ-30X-B	14,5	2	220	7/8	1/2	640/950/633	127		EWL		8,1		53	47,8
H8-LL-30X-B	18,2	1	235	1 1/8	1/2	680/735/533	110		EWL		7,3		50,6	48,5
K9-LL-30X-B	18,2	2	220	1 1/8	1/2	640/950/454	134		EWL		7,3		50,6	47,2
H8-LL-40X-B	18,2	1	235	1 1/8	1/2	680/735/533	112		EWL		9,5		58,9	48,6
P8-LL-40X-B	18,2	2	220	1 1/8	1/2	640/950/633	128		EWL		9,5		58,9	48
H8-LSG-40X-B	22,5	1	235	1 1/8	1/2	680/735/533	116		EWL		8,9		58,9	
K9-LSG-40X-B	22,5	2	220	1 1/8	1/2	640/950/454	131		EWL		8,9		58,9	50,9

* 1-faz.: 230 V/ 50 Hz

** 3-faz.: 380-420 V/ 50 Hz

*** w odległości 10 m: ciśnienie akustyczne w odległości 10 m od sprężarki, w polu swobodnym

Dane dotyczące wydajności

Temperatura otoczenia +32°C															
R134a		Wydajność chłodnicza (kW)						R134a		Moc zasilania (kW)					
		Temperatura parowania (°C)								Temperatura parowania (°C)					
Model	-45	-35	-30	-20	-10	-5	+5	Model	-45	-35	-30	-20	-10	-5	+5
B8-KM-5X-B				0,8	1,2	1,5	2,2	B8-KM-5X-B				0,5	0,6	0,7	0,8
B8-KJ-7X-B				1,0	1,6	1,9	2,8	B8-KJ-7X-B				0,7	0,8	0,9	1,0
B8-KSJ-10X-B				1,2	1,9	2,4	3,4	B8-KSJ-10X-B				0,8	0,9	1,0	1,2
B8-KL-15X-B				1,4	2,2	2,6	3,7	B8-KL-15X-B				0,9	1,2	1,3	1,6
D8-KSL-15X-B				1,8	2,8	3,4	4,9	D8-KSL-15X-B				1,1	1,4	1,6	1,9
D8-KSL-20X-B				1,8	2,9	3,5	5,0	D8-KSL-20X-B				1,1	1,4	1,5	1,8
H8-KSL-20X-B				1,9	3,0	3,7	5,4	H8-KSL-20X-B				1,2	1,5	1,6	1,8
D8-LE-20X-B				1,6	2,7	3,4	4,9	D8-LE-20X-B				1,1	1,4	1,5	1,8
H8-LE-20X-B				1,7	2,9	3,6	5,4	H8-LE-20X-B				1,2	1,5	1,6	1,8
D8-LF-20X-B				2,2	3,6	4,4	6,2	D8-LF-20X-B				1,4	1,7	1,9	2,3
H8-LJ-20X-B				2,7	4,3	5,2	7,5	H8-LJ-20X-B				1,8	2,2	2,4	2,8
H8-LL-30X-B				3,2	5,3	6,5	9,2	H8-LL-30X-B				2,1	2,6	3,0	3,7
K9-LL-30X-B				3,2	5,3	6,5	9,3	K9-LL-30X-B				2,1	2,6	2,9	3,7
H8-LSG-40X-B				4,2	6,6	7,9	11,0	H8-LSG-40X-B				2,5	3,2	3,7	4,6
K9-LSG-40X-B				4,2	6,6	8,0	11,1	K9-LSG-40X-B				2,5	3,2	3,6	4,5

Warunki: EN13215: temp. gazu na ssaniu 20°C, dochłodzenie 0 K

Temperatura otoczenia +32°C															
R407A		Wydajność chłodnicza (kW)						R407A		Moc zasilania (kW)					
		Temperatura parowania (°C)								Temperatura parowania (°C)					
Model	-45	-35	-30	-20	-10	-5	+5	Model	-45	-35	-30	-20	-10	-5	+5
B8-KM-5X-B		0,5	0,7	1,2				B8-KM-5X-B		0,5	0,6	0,7			
B8-KM-7X-B		0,5	0,7	1,2	1,8	2,2	3,0	B8-KM-7X-B		0,6	0,6	0,8	0,9	1,0	1,2
B8-KJ-7X-B		0,7	0,9	1,5				B8-KJ-7X-B		0,7	0,8	1,0			
B8-KJ-10X-B		0,7	0,9	1,5	2,3	2,7		B8-KJ-10X-B		0,6	0,7	0,9	1,2	1,4	
B8-KSJ-10X-B		0,9	1,2	1,9				B8-KSJ-10X-B		0,9	1,0	1,3			
D8-KSJ-15X-B		0,9	1,2	2,0	3,0	3,6		D8-KSJ-15X-B		0,9	1,0	1,3	1,5	1,7	
B8-KL-15X-B		1,0	1,3	2,1				B8-KL-15X-B		1,0	1,1	1,4			
D8-LE-20X-B		0,9	1,4	2,6	4,1	5,0		D8-LE-20X-B		0,9	1,1	1,5	2,0	2,2	
H8-LE-20X-B		0,9	1,5	2,8	4,6	5,6	7,9	H8-LE-20X-B		1,0	1,2	1,6	2,1	2,3	2,7
H8-LJ-20X-B		1,6	2,3	4,2				H8-LJ-20X-B		1,5	1,8	2,5			
H8-LF-30X-B		1,3	2,0	3,7	5,9	7,1		H8-LF-30X-B		1,4	1,6	2,2	2,8	3,1	
D8-LF-20X-B		1,3	1,8	3,2				D8-LF-20X-B		1,2	1,5	2,0			
P8-LF-30X-B		1,4	2,1	3,9	6,2	7,5	10,6	P8-LF-30X-B		1,3	1,6	2,2	2,7	3,0	3,6
P8-LJ-30X-B		1,9	2,6	4,5	6,9	8,3		P8-LJ-30X-B		1,7	1,9	2,6	3,2	3,6	
H8-LJ-30X-B		1,8	2,6	4,3	6,6	7,9		H8-LJ-30X-B		1,7	2,0	2,6	3,3	3,7	
H8-LL-30X-B		2,1	3,0	5,2				H8-LL-30X-B		1,8	2,2	3,1			
H8-LL-40X-B		2,1	3,1	5,3	8,0	9,5		H8-LL-40X-B		1,9	2,2	3,1	4,1	4,6	
P8-LL-40X-B		2,2	3,2	5,6	8,6	10,4		P8-LL-40X-B		1,9	2,2	3,1	4,0	4,5	
K9-LSG-40X-B		2,7	3,8	6,3				K9-LSG-40X-B		2,3	2,7	3,8			

Warunki: EN13215: temp. gazu na ssaniu 20°C, dochłodzenie 0 K

Dane dotyczące wydajności

Temperatura otoczenia +32°C							
R404A	Wydajność chłodnicza (kW)						
	Temperatura parowania (°C)						
Model	-45	-35	-30	-20	-10	-5	+5
B8-KM-5X-B	0,3	0,6	0,8	1,3			
B8-KM-7X-B	0,3	0,6	0,8	1,3	1,9	2,2	3,0
B8-KJ-10X-B	0,4	0,8	1,1	1,7	2,4	2,8	3,6
B8-KJ-7X-B	0,4	0,8	1,1	1,7			
B8-KSJ-10X-B	0,6	1,1	1,3	1,8			
D8-KSJ-15X-B	0,6	1,1	1,4	2,2	3,2	3,8	
B8-KL-15X-B	0,7	1,2	1,5	2,3			
D8-KSL-20X-B	0,9	1,6	2,0	3,1	4,3		
H8-KSL-20X-B	0,9	1,7	2,2	3,3	4,8	5,7	
D8-LE-20X-B		1,2	1,7	2,9	4,3	5,0	
H8-LE-20X-B		1,3	1,9	3,2	4,8	5,8	7,8
D8-LF-20X-B	0,7	1,7	2,2	3,5			
H8-LF-30X-B	0,9	2,1	2,7	4,4	6,3	7,4	
P8-LF-30X-B	1,0	2,1	2,9	4,7	6,9	8,2	11,1
H8-LJ-20X-B	0,8	2,1	2,9				
H8-LJ-30X-B	1,1	2,3	3,0	4,7	6,8	7,9	
P8-LJ-30X-B	1,1	2,4	3,2	5,1	7,5	8,9	11,9
H8-LL-30X-B	1,2	2,7	3,6	5,7			
H8-LL-40X-B	1,4	2,8	3,6	5,6	8,1	9,4	
K9-LL-30X-B	1,2	2,7	3,6	5,7			
P8-LL-40X-B	1,4	2,9	3,9	6,2	9,1	10,8	
H8-LSG-40X-B	1,7	3,4	4,4	6,7			
K9-LSG-40X-B	1,7	3,4	4,4	6,7			

R404A	Moc zasilania (kW)						
	Temperatura parowania (°C)						
Model	-45	-35	-30	-20	-10	-5	+5
B8-KM-5X-B	0,5	0,6	0,6	0,8			
B8-KM-7X-B	0,4	0,6	0,7	0,8	1,0	1,1	1,3
B8-KJ-10X-B	0,5	0,8	0,9	1,1	1,4	1,5	1,8
B8-KJ-7X-B	0,6	0,8	0,9	1,1			
B8-KSJ-10X-B	0,8	1,0	1,2	1,5			
D8-KSJ-15X-B	0,7	1,0	1,1	1,4	1,8	1,9	
B8-KL-15X-B	0,9	1,1	1,3	1,6			
D8-KSL-20X-B	1,0	1,3	1,5	2,0	2,6		
H8-KSL-20X-B	1,1	1,5	1,7	2,1	2,6	2,8	
D8-LE-20X-B		1,1	1,3	1,7	2,2	2,5	
H8-LE-20X-B		1,2	1,4	1,9	2,3	2,5	3,0
D8-LF-20X-B	1,0	1,5	1,8	2,4			
H8-LF-30X-B	1,3	1,9	2,1	2,7	3,3	3,6	
P8-LF-30X-B	1,3	1,9	2,1	2,6	3,2	3,4	4,0
H8-LJ-20X-B	1,2	1,8	2,2				
H8-LJ-30X-B	1,4	2,0	2,4	3,0	3,8	4,2	
P8-LJ-30X-B	1,4	2,0	2,3	3,0	3,6	4,0	4,6
H8-LL-30X-B	1,5	2,2	2,7	3,6			
H8-LL-40X-B	1,7	2,4	2,8	3,7	4,7	5,3	
K9-LL-30X-B	1,5	2,2	2,6	3,6			
P8-LL-40X-B	1,7	2,4	2,8	3,6	4,5	5,0	
H8-LSG-40X-B	1,9	2,8	3,3	4,5			
K9-LSG-40X-B	1,9	2,8	3,3	4,5			

Warunki: EN13215: temp. gazu na ssaniu 20°C, dochłodzenie 0 K

Agregaty skraplające ze sprężarkami półhermetycznymi Discus™

Agregaty skraplające chłodzone powietrzem Copeland™ do zastosowań średnio- i niskotemperaturowych.

W trakcie badań zmierzających do tego, by zwiększyć wydajność sprężarek i zmniejszyć straty sprężania, inżynierowie z firmy Emerson Climate Technologies opracowali zawory Discus.

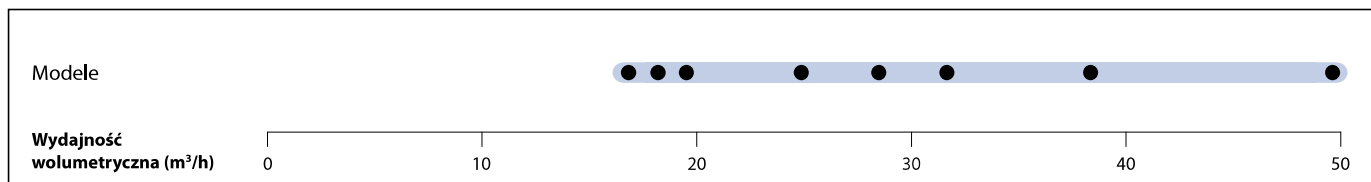
Ta seria agregatów skraplających jest wyposażona w półhermetyczne sprężarki dwu- oraz trzycylindrowe z zaworami Discus. Modele te szczególnie nadają się do zastosowań, w których wymagane są wysoka efektywność i niskie zużycie energii.

Szeroka gama modeli sprężarek w połączeniu ze skraplaczami o dużej wydajności z dwoma lub czterema wentylatorami spełnia większość wymagań związanych z zastosowaniami nisko- i średnitemperaturowymi.



Agregaty skraplające ze sprężarkami półhermetycznymi Discus

Typszereg agregatów skraplających Discus



Cechy i zalety

- Standardowe wyposażenie: sprężarka Discus, skraplacz z wentylatorami z zabezpieczeniami termicznymi, przewód tłoczny z elastyczną pętlą lub amortyzatorem drgań, zbiornik cieczy z zaworem odcinającym, presostat HP/LP z przełącznikiem automatycznym, presostat olejowy OPS2
- Odpowiednie do wielu czynników chłodniczych: R404A, R407A, R407F, R507, R134a oraz R22
- Szeroka oferta akcesoriów wysokiej jakości
- Doskonała efektywność
- Potwierdzona niezawodność

Maksymalne dopuszczalne ciśnienia (PS)

- Strona niskiego ciśnienia PS 22,5 bar(g)
- Strona wysokiego ciśnienia PS = 28 bar(g)

Informacje techniczne

Modele	Wydajność wolumetryczna (m ³ /h)	Liczba wentylatorów	Łączna moc silników wentylatorów (W)	Średnica przewodu ssawnego (cal)	Średnica przewodu cieczowego (cal)	Długość/szerokość/wysokość (mm)	Masa netto (kg)	Wersja/ kod silnika	Maksymalny prąd pracy (A)	Natężenie przy zablokowanym wirniku (A)	Ciśnienie akustyczne @ 10 m - d(BA)***
								3 faz.**	3 faz.**	3 faz.**	
P8-2DC-50X-B	17	2	220	1 3/8	5/8	740/950/633	186	AWM	9	55	
P8-2DB-50X-B	28	2	220	1 3/8	5/8	740/950/633	186	AWM	13,4	55	49,6
P8-3DA-50X-B	32	2	220	1 3/8	5/8	740/950/633	205	AWM	15,9	55	51,6
P8-2DB-75X-B	28	2	220	1 3/8	5/8	740/950/633	191	AWM	16,1	70	52
P8-2DL-75X-B	24	2	220	1 3/8	5/8	740/950/633		AWM	13,8	70	50
P8-3DA-75X-B	32	2	220	1 3/8	5/8	740/950/633	211	AWM	17,5	106	52
R7-2DD-50X-B	19	2	470	1 3/8	3/4	820/1130/633	196	AWM	10,3	55	
S9-2DB-75X-B	28	2	470	1 3/8	3/4	820/1130/708	212	AWM	16,1	70	
R7-2DL-75X-B	24	2	470	1 3/8	3/4	820/1130/708	205	AWM	13,8	70	
R7-3DC-75X-B	38	2	470	1 3/8	3/4	820/1130/633	278	AWM	18,3	70	54,6
R7-3DC-100X-B	38	2	470	1 3/8	3/4	820/1129/633	234	AWM	20,5	121	56
S9-3DS-100X-B	50	2	470	1 3/8	3/4	820/1130/708	239	AWM	24,4	121	54
S9-3DS-150X-B	50	2	470	1 3/8	3/4	820/1129/708	243	AWM	29	125,7	57
S9-3DA-75X-B	32	2	470	1 3/8	7/8	820/1330/835	259	AWM	17,5	106	
V6-3DC-100X-B	38	2	800	1 3/8	7/8	820/1330/835	278	AWM	20,5	121	
V6-3DS-150X-B	50	2	800	1 5/8	7/8	820/1330/835	280	AWM	29	125,7	
W9-3DS-150X-B	50	2	800	1 5/8	7/8	820/1640/869	303	AWM	29	125,7	

** 3-faz.: 380-420 V/ 50 Hz

*** w odległości 10 m: ciśnienie akustyczne w odległości 10 m od sprężarki, w polu swobodnym

Dane dotyczące wydajności

Temperatura otoczenia: 32°C							
R134a	Wydajność chłodnicza (kW)						
	Temperatura parowania (°C)						
Model	-45	-35	-30	-20	-10	-5	+5
P8-2DB-50X-B				5,1	8,4	10,3	14,5
P8-2DB-75X-B				4,5*	7,6*	9,5*	14,1*
P8-2DL-75X-B				3,7*	6,5*	8,2*	12,4*
P8-3DA-50X-B				5,8	9,2	11,2	15,7
P8-3DA-75X-B				5,0*	8,6*	10,7*	15,8*
R7-3DC-75X-B				7,3	11,5	14,0	19,6
R7-3DC-100X-B				6,7*	11,0*	13,7*	20,0*
S7-2DL-75X-B				3,9*	6,8*	8,6*	13,2*
S9-2DB-75X-B				4,8*	8,3*	10,4*	15,7*
S9-3DS-100X-B				9,5	14,9	18,1	25,3
S9-3DS-150X-B				9,4*	14,8*	18,1*	25,8*
V6-3DC-100X-B				7,3*	12,2*	15,3*	23,1*
V6-3DS-100X-B				10,0	16,1	19,7	28,4
V6-3DS-150X-B				10,1*	16,1*	19,8*	29,1*

Temperatura otoczenia: 32°C							
R134a	Moc zasilania (kW)						
	Temperatura parowania (°C)						
Model	-45	-35	-30	-20	-10	-5	+5
P8-2DB-50X				2,8	3,7	4,1	5,1
P8-2DB-75X				2,8*	3,6*	4,0*	4,9*
P8-2DL-75X							4,0*
P8-3DA-50X				3,2	4,2	4,7	5,8
P8-3DA-75X				3,3*	4,1*	4,6*	5,7*
R7-3DC-75X				4,1	5,2	5,8	7,0
R7-3DC-100X				4,1*	5,2*	5,7*	6,9*
S7-2DL-75X				2,6*	3,2*	3,5*	4,1*
S9-2DB-75X				3,1*	3,7*	4,1*	4,7*
S9-3DS-100X				5,2	6,7	7,6	9,4
S9-3DS-150X				5,5*	6,9*	7,7*	9,4*
V6-3DC-100X				4,4*	5,2*	5,6*	6,3*
V6-3DS-100X				5,4	6,8	7,4	8,8
V6-3DS-150X				5,8*	7,0*	7,6*	8,9*

Warunki: EN13215: temp. gazu na ssaniu 20°C, dochłodzenie 0 K

* Warunki: EN13215: przegrzanie par na ssaniu 10 K

Temperatura otoczenia: 32°C							
R407A	Wydajność chłodnicza (kW)						
	Temperatura parowania (°C)						
Model	-45	-35	-30	-20	-10	-5	+5
P8-3DA-50X-B		3,7*	5,0*	8,7	12,1		
P8-2DB-50X-B		3,3*	4,5*	7,9	11,3	13,2	
P8-2DC-50X-B		1,8	2,6	4,5	7,1	8,7	12,3
R7-2DD-50X-B		2,4	3,4	5,8	9,1	11,0	15,5
P8-3DA-75X-B				8,5	12,2		
P8-2DB-75X-B				7,9	11,4	13,2	
S9-2DB-75X-B				8,7	13,2	15,7	21,4
R7-3DC-75X-B		4,7*	6,3*	11,1	15,8	18,3	
P8-2DL-75X-B				6,6	10,0	11,9	
R7-3DC-100X-B				11,1	16,2	18,9	
V6-3DC-100X-B				12,6	19,1	22,9	31,5
S9-3DS-100X-B		6,3*	8,5*	14,7	20,5	23,6	
V6-3DS-150X-B				16,1	23,8	28,2	37,8
S9-3DS-150X		7,2	9,1	14,2	19,8		
V6-3DS-150X		7,7	10,0	16,1	23,5	27,3	35,0

Temperatura otoczenia: 32°C							
R407A	Moc zasilania (kW)						
	Temperatura parowania (°C)						
Model	-45	-35	-30	-20	-10	-5	+5
P8-3DA-50X-B		3,7*	5,0*	8,7	12,1		
P8-2DB-50X-B		3,3*	4,5*	7,9	11,3	13,2	
P8-2DC-50X-B		1,8	2,6	4,5	7,1	8,7	12,3
R7-2DD-50X-B		2,4	3,4	5,8	9,1	11,0	15,5
P8-3DA-75X-B				8,5	12,2		
P8-2DB-75X-B				7,9	11,4	13,2	
S9-2DB-75X-B				8,7	13,2	15,7	21,4
R7-3DC-75X-B		4,7*	6,3*	11,1	15,8	18,3	
P8-2DL-75X-B				6,6	10,0	11,9	
R7-3DC-100X-B				11,1	16,2	18,9	
V6-3DC-100X-B				12,6	19,1	22,9	31,5
S9-3DS-100X-B		6,3*	8,5*	14,7	20,5	23,6	
V6-3DS-150X-B				16,1	23,8	28,2	37,8
S9-3DS-150X		6,1	7,0	9,4	12,1		
V6-3DS-150X		6,2	7,1	9,3	11,8	13,0	15,2

Warunki: EN13215: temp. gazu na ssaniu 20°C, dochłodzenie 0 K

* Warunki: EN13215: przegrzanie par na ssaniu 10 K

Dane dotyczące wydajności

Temperatura otoczenia: 32°C															
R404A		Wydajność chłodnicza (kW)						R404A		Moc zasilania (kW)					
		Temperatura parowania (°C)								Temperatura parowania (°C)					
Model	-45	-35	-30	-20	-10	-5	+5	Model	-45	-35	-30	-20	-10	-5	+5
P8-2DC-50X-B		2,4	3,2	5,2	7,9	9,5	13	P8-2DC-50X		2,0	2,3	3,0	3,7	4,0	4,7
R7-2DD-50X-B		2,5	3,6	6,1	9,3	11,2	15,6	R7-2DD-50X		2,6	3,0	3,7	4,5	4,9	5,6
P8-3DA-75X-B			5,0	6,5	9,8			P8-3DA-75X			4,1	4,8	6,4		
R7-2DL-75X-B		3,8	5,0	8,0	11,8	13,9	18,6	R7-2DL-75X		3,2	3,6	4,5	5,6	6,1	7,3
P8-3DA-50X-B	2,3	5,4	6,7	9,6	11,9			P8-3DA-50X	2,9	4,2	5,0	6,5	8,2		
P8-2DB-50X-B	2,0	4,6	5,9	8,9	12,3			P8-2DB-50X	2,5	3,4	4,0	5,4	7,0		
P8-2DB-75X-B		4,9	6,14	9,2	12,3			P8-2DB-75X				4,4	5,6	6,4	
S9-2DB-75X-B		5,0	6,6	10,3	14,9	17,6	23,7	S9-2DB-75X		3,8	4,3	5,5	6,7	7,4	8,8
S9-3DA-75X-B		5,4	7,1	11,2	16,0	18,7		S9-3DA-75X		4,4	5,1	6,5	8,0	8,7	
R7-3DC-100X-B	3,1	6,7	8,4	12,1	16,2			R7-3DC-100X	3,9	5,4	6,2	7,9	9,9		
R7-3DC-75X-B	3,1	6,7	8,4	12,1	16,2			R7-3DC-75X	3,9	5,4	6,2	7,9	9,8		
V6-3DC-100X-B		6,1	8,2	13,3	19,7	23,5	32,5	V6-3DC-100X		5,3	6,1	7,6	9,1	9,8	11,2
S9-3DS-100X-B	4,2	9,0	11,3	16,2	19,9			S9-3DS-100X	5,1	7,1	8,2	10,7	13,4		
V6-3DS-150X-B		9,4	12,2	18,5	25,9	30,1	39,1	V6-3DS-150X		7,1	8,2	10,6	12,9	14,1	16,3
W9-3DS-150X-B		9,4	12,2	18,7	26,2	30,5	39,7	W9-3DS-150X		7,1	8,2	10,5	12,9	14,0	16,2

Warunki: EN13215: temp. gazu na ssaniu 20°C, dochłodzenie 0 K

Temperatura otoczenia: 32°C															
R407C		Wydajność chłodnicza (kW)						R407C		Moc zasilania (kW)					
		Temperatura parowania (°C)								Temperatura parowania (°C)					
Model	-20	-15	-10	-5	0	+5	+10	Model	-20	-15	-10	-5	0	+5	+10
P8-2DC-50X-B	4,1	5,3	6,8	8,4	10,2	12,1	14,2	P8-2DC-50X	2,3	2,6	3,0	3,3	3,7	4,2	4,6
R7-2DD-50X-B	5,1	6,6	8,4	10,4	12,6	15,0	17,6	R7-2DD-50X	2,9	3,3	3,6	4,0	4,4	4,9	5,3
R7-2DL-75X-B	6,3	8,0	10,1	12,4	14,9	17,7	20,6	R7-2DL-75X	3,5	4,0	4,5	5,1	5,6	6,2	6,9
S9-2DB-75X-B	8,2	20,2	12,5	15,1	18,0	21,0	24,3	S9-2DB-75X	4,4	4,9	5,5	6,1	6,7	7,4	8,1
S9-3DA-75X-B	9,0	11,2	13,9	16,8	20,0	23,3	26,9	S9-3DA-75X	5,1	5,6	6,3	7,0	7,8	8,6	9,5
V6-3DC-100X-B	11,4	14,3	17,6	21,4	25,6	30,2	35,1	V6-3DC-100X	6,1	6,7	7,4	8,2	8,9	9,7	10,6
V6-3DS-150X-B	15,3	18,7	22,6	26,9	31,7	36,8	42,2	V6-3DS-150X	8,4	9,3	10,3	11,3	12,5	13,8	15,2
W9-3DS-150X-B	15,4	18,9	22,9	27,4	32,3	37,7	43,3	W9-3DS-150X	8,3	9,2	10,2	11,2	12,3	13,6	14,9

Warunki: EN13215: temp. gazu na ssaniu 20°C, dochłodzenie 0 K

Temperatura otoczenia +32°C															
R22		Wydajność chłodnicza (kW)						R22		Moc zasilania (kW)					
		Temperatura parowania (°C)								Temperatura parowania (°C)					
Model	-45	-35	-30	-20	-10	-5	+5	Model	-45	-35	-30	-20	-10	-5	+5
P8-2DC-50X-B				4,9	7,9	9,6	13,7	P8-2DC-50X-B				2,6	3,2	3,6	4,3
R7-2DD-50X-B				5,9	9,4	11,5	16,4	R7-2DD-50X-B				3,3	3,9	4,3	5,0
R7-2DL-75X-B				7,3	11,4	13,9	19,5	R7-2DL-75X-B				3,9	4,9	5,4	6,5
S9-2DB-75X-B				9,3	14,1	16,8	23,1	S9-2DB-75X-B				4,8	5,9	6,4	7,6
S9-3DA-750-B				10,3	15,8	18,9	26,0	S9-3DA-750-B				5,5	6,8	7,5	8,9
S9-3DA-75X-B				10,3	15,8	18,9	26,0	S9-3DA-75X-B				5,5	6,8	7,5	8,9
V6-3DC-100X-B				13,0	19,9	23,9	33,2	V6-3DC-100X-B				6,7	8,0	8,7	10,0
V6-3DS-150X-B				17,3	25,4	30,1	40,9	V6-3DS-150X-B				9,1	11,0	12,0	14,1
W9-3DS-150X-B				17,4	25,6	30,4	41,4	W9-3DS-150X-B				9,0	10,9	11,9	13,9

Warunki: EN13215: temp. gazu na ssaniu 20°C, dochłodzenie 0 K

Agregaty skraplające ze sprężarkami półhermetycznymi Stream i modułami diagnostycznymi CoreSense™

Agregaty skraplające chłodzone powietrzem Copeland do zastosowań nisko-, średnio- i wysokotemperaturowych.

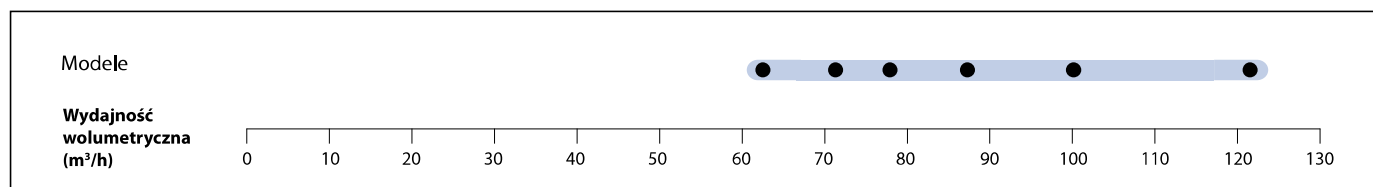
Ta seria agregatów skraplających jest wyposażona w wysokowydajne półhermetyczne sprężarki cztero- lub sześciocyldrowe Stream. Zaawansowane funkcje zabezpieczające i diagnostyczne zmniejszają koszty obsługi oraz przestoje w pracy. Modele te szczególnie nadają się do zastosowań, w których do osiągnięcia niskich kosztów eksploatacji wymagane są wysoka efektywność i niezawodność.

Wieloczynnikowa homologacja oraz szeroka oferta akcesoriów ułatwiają projektowanie systemów.



Agregaty skraplające ze sprężarkami półhermetycznymi Stream i modułami diagnostycznymi CoreSense

Typszereg agregatów skraplających Stream



Cechy i zalety

- Standardowe wyposażenie: sprężarka Stream z modulem diagnostycznym CoreSense, skraplacz z wentylatorami z zabezpieczeniami termicznymi, przewód tłoczny z elastyczną pętlą lub tłumikiem drgań, zbiornik cieczy z zaworem odcinającym, presostat HP/LP z resetem automatycznym
- Odpowiednie do wielu czynników chłodniczych: R404A, R507, R134a, R407F, R407A, R407C, R22
- Szeroka oferta akcesoriów wysokiej jakości
- Doskonała efektywność
- Potwierdzona niezawodność

Maksymalne dopuszczalne ciśnienia (PS)

- Po stronie niskiego ciśnienia = 22,5 bara
- Po stronie wysokiego ciśnienia = 28 barów

Funkcje diagnostyczne CoreSense

- Zabezpieczenie silnika i układu olejowego
- Zapisywanie zaawansowanych informacji dotyczących pracy i eksploatacji sprężarki
- Sygnały dotyczące stanu pracy i alarmu przy użyciu kodów wielobarwnych diod
- Komunikacja systemowa przy użyciu protokołu Modbus
- Kontrola zasilania sprężarki

Informacje techniczne

Modele	Wydajność wolumetryczna (m ³ /h)	Liczba wentylatorów	Łączna moc silników wentylatorów (W)	Średnica przewodu ssawnego (cal)	Średnica przewodu cieczowego (cal)	Długość/ szerokość/ wysokość (mm)	Waga netto (kg)	Wersja/ kod silnika	Maksymalne natężenie robocze (A)	Natężenie przy zablokowanym wirniku (A)	Ciśnienie akustyczne @ 10 m - d(BA)**
								3 faz.*	3 faz.*	3 faz.*	
V6-4MF-13X	62	2	800	1 5/8	7/8	955/1289/835	295	AWM	30,8	105	57
V6-4ML-15X	71	2	800	1 5/8	7/8	955/1289/835	303	AWM	35,4	156	57
W9-4MM-20X	78	2	800	2 1/8	7/8	1107/1600/875	358	AWM	39	175	57
Z9-4MA-22X	62	4	1600	1 5/8	7/8	1107/1600/1263	383	AWM	36,3	175	59
W9-4MT-22X	88	2	800	2 1/8	7/8	1107/1600/875	358	AWM	44,5	175	59
Z9-4MT-22X	88	4	1600	2 1/8	7/8	1107/1600/1263	389	AWM	44,5	175	
Z9-4MH-25X	71	4	1600	2 1/8	7/8	1107/1600/1263	389	AWM	41,6	199	59
Z9-4MU-25X	100	4	1600	2 1/8	7/8	1107/1600/1263	392	AWM	51,9	199	59
Z9-4MI-30X	78	4	1600	2 1/8	7/8	1107/1600/1263	416	AWM	46,6	221	59
Z9-6MM-30X	121	4	1600	2 1/8	7/8	1130/1600/1263	410	AWM	59,7	255	59
Z9-4MJ-33X	88	4	1600	2 1/8	7/8	1107/1600/1263	416	AWM	52,9	221	59
W99-4MK-35X	100	4	1600	2 1/8	7/8	1189/1600/1803	504	AWM	61,1	255	59
W99-6MI-40X	121	4	1600	2 1/8	7/8	1213/1600/1803	521	AWM	71,4	304	59

* 3-faz.: 380-420 V/ 50 Hz

** w odległości 10 m: ciśnienie akustyczne w odległości 10 m od sprężarki, w polu swobodnym

Dane dotyczące wydajności

R134a	Wydajność chłodnicza (kW)							R134a	Moc zasilania (kW)						
	Temperatura parowania (°C)								Temperatura parowania (°C)						
Model	-45	-35	-30	-20	-10	-5	+5	Model	-45	-35	-30	-20	-10	-5	+5
V6-4MF-13X				12,4	19,6	23,8	33,8	V6-4MF-13X				6,6	8,2	9,1	10,9
V6-4ML-15X				14,8	22,9	27,7	38,6	V6-4ML-15X				7,7	9,8	10,9	13,2
W9-4MM-20X				16,4	25,2	30,3	42,1	W9-4MM-20X				8,5	10,8	12,0	14,6
Z9-4MA-22X				14,0	21,9	26,9	39,1	Z9-4MA-22X				7,4	8,8	9,4	10,6
W9-4MT-22X				18,5	28,0	33,6	45,9	W9-4MT-22X				9,7	12,3	13,7	16,9
Z9-4MT-22X				19,6	30,4	37,1	52,9	Z9-4MT-22X				10,2	12,4	13,6	15,9
Z9-4MH-25X				15,8	24,9	30,6	44,4	Z9-4MH-25X				8,5	10,2	11,1	12,6
Z9-4MU-25X				21,2	33,3	40,6	57,9	Z9-4MU-25X				11,3	14,0	15,4	18,3
Z9-4MI-30X				17,5	27,2	33,3	47,9	Z9-4MI-30X				9,1	11,0	12,0	13,8
Z9-6MM-30X				25,3	39,1	47,4	66,7	Z9-6MM-30X				13,3	16,7	18,4	22,1
Z9-4MJ-33X				19,5	30,1	36,7	52,4	Z9-4MJ-33X				10,2	12,3	13,4	15,5
W99-4MK-35X				21,8	33,7	41,0	58,5	W99-4MK-35X				11,2	13,8	15,2	18,0
W99-6MI-40X				25,2	39,0	47,4	67,3	W99-6MI-40X				13,5	16,5	18,2	21,7

Warunki: EN13215: temp. gazu na ssaniu 20°C, dochłodzenie 0 K

*Przegrzanie par na ssaniu 10 K

Dane dotyczące wydajności

R407A	Wydajność chłodnicza (kW)							R407A	Moc zasilania (kW)						
	Temperatura parowania (°C)								Temperatura parowania (°C)						
	-45	-35	-30	-20	-10	-5	+5		-45	-35	-30	-20	-10	-5	+5
Model								Model							
V6-4MF-13X		7,5*	10,3*	18,4	26,5	31,0		V6-4MF-13X		6,9*	8,1*	10,9	14,0	15,8	
V6-4ML-15X		9,3*	12,6*	21,7	30,9	35,9		V6-4ML-15X		8,2*	9,6*	12,9	16,7	18,9	
W9-4MM-20X		10,5*	14,0*	23,8	33,8	39,2		W9-4MM-20X		9,0*	10,6*	14,3	18,5	20,9	
Z9-4MA-22X				20,9	32,1	38,8	54,6	Z9-4MA-22X				11,0	13,4	14,7	17,2
W9-4MT-22X		11,1*	14,7*	25,1	35,2	40,6		W9-4MT-22X		10,3*	12,1*	16,4	21,4	24,3	
Z9-4MT-22X		12,1*	17,9	28,4	41,9	49,8		Z9-4MT-22X		10,9*	12,6	16,2	20,1	22,2	
Z9-4MH-25X				24,0	36,5	43,9	61,4	Z9-4MH-25X				12,9	15,7	17,1	20,0
Z9-4MU-25X		13,2*	19,8	31,7	46,5	55,0		Z9-4MU-25X		12,1*	14,0	18,1	22,8	25,5	
Z9-4MI-30X				26,6	40,0	47,9	66,1	Z9-4MI-30X				14,2	17,4	19,0	22,5
Z9-6MM-30X		15,8*	21,4*	37,5	54,5	64,0		Z9-6MM-30X		14,2*	16,5*	21,7	27,6	30,9	
Z9-4MJ-33X				29,3	43,6	52,0	71,2	Z9-4MJ-33X				15,9	19,6	21,5	25,8
W99-4MK-35X				32,4	47,9	56,8	76,6	W99-4MK-35X				18,1	22,6	25,0	30,4
W99-6MI-40X				38,4	56,2	66,1	87,7	W99-6MI-40X				21,6	27,3	30,5	37,5

Warunki: EN13215: temp. gazu na ssaniu 20°C, dochłodzenie 0 K

*Przegrzanie par na ssaniu 20 K

R407F	Wydajność chłodnicza (kW)							R407F	Moc zasilania (kW)						
	Temperatura parowania (°C)								Temperatura parowania (°C)						
	-45	-35	-30	-20	-10	-5	+5		-45	-35	-30	-20	-10	-5	+5
Model								Model							
V6-4MF-13X		8,0*	11,0*	18,1*	27,5	32,1		V6-4MF-13X		7,2*	8,5*	11,4*	14,9	16,8	
V6-4ML-15X		9,9*	13,3*	21,4*	32,4			V6-4ML-15X		8,6*	10,1*	13,6*	17,9		
W9-4MM-20X		10,9*	14,6*	23,3*	35,1			W9-4MM-20X		9,6*	11,2*	15,0*	19,6		
Z9-4MA-22X				21,3*	34,0	41,1	57,5	Z9-4MA-22X				11,7*	14,2	15,5	18,0
W9-4MT-22X		12,4*	16,4*	25,5*				W9-4MT-22X		10,9*	12,7*	17,2*			
Z9-4MH-25X				24,4*	38,7	46,5	64,5	Z9-4MH-25X				13,5*	16,6	18,1	21,3
Z9-4MU-25X		14,8*	19,8*	32,2*	49,5	58,5		Z9-4MU-25X		12,7*	14,7*	19,1*	24,4	27,3	
Z9-4MI-30X				26,9*	42,0	50,2	68,8	Z9-4MI-30X				14,7*	18,2	20,0	23,9
Z9-6MM-30X		17,7*	23,7*	38,1*	58,0	68,1		Z9-6MM-30X		15,1*	17,4*	22,8*	29,3	32,8	
Z9-4MJ-33X				29,6*	45,9	54,6	74,1	Z9-4MJ-33X				16,5*	20,6	22,8	27,7
W99-4MK-35X				32,5*	50,1	59,3	79,8	W99-4MK-35X				18,8*	23,7	26,4	32,7
W99-6MI-40X				38,4*	59,0	69,3	91,6	W99-6MI-40X				22,6*	28,9	32,4	40,2

Warunki: EN13215: temp. gazu na ssaniu 20°C, dochłodzenie 0 K

*Przegrzanie par na ssaniu 10 K

Dane dotyczące wydajności

R404A	Wydajność chłodnicza (kW)							R404A	Moc zasilania (kW)						
	Temperatura parowania (°C)								Temperatura parowania (°C)						
Model	-45	-35	-30	-20	-10	-5	+5	Model	-45	-35	-30	-20	-10	-5	+5
V6-4MF-13X	4,3*	10,8	13,7	20,4	28,4	32,8		V6-4MF-13X	5,9*	8,2	9,5	12,3	15,3	16,9	
V6-4ML-15X	5,4*	13,0	16,4	23,9	32,6			V6-4ML-15X	7,1*	9,9	11,5	14,9	18,7		
W9-4MM-20X	6,3*	14,5	18,1	25,9	34,6			W9-4MM-20X	7,9*	11,0	12,7	16,5	20,7		
Z9-4MA-22X		11,7	15,3	24,0	34,8	41,0	55,0	Z9-4MA-22X		8,9	10,1	12,5	14,9	16,0	18,2
W9-4MT-22X	7,2*	15,9	19,7	28,1				W9-4MT-22X	8,8*	12,4	14,4	18,7			
Z9-4MT-22X	7,9*	17,7	22,2	33,3	46,9	54,6		Z9-4MT-22X	9,6*	13,0	14,7	18,5	22,4	24,4	
Z9-4MH-25X		13,4	17,5	27,3	39,6	46,7	62,8	Z9-4MH-25X		10,2	11,6	14,6	17,6	19,1	22,0
Z9-4MU-25X	8,4*	19,2	24,2	36,1	50,7			Z9-4MU-25X	10,5*	14,4	16,5	20,9	25,5		
Z9-4MI-30X		15,4	20,0	30,5	43,1	50,3	66,1	Z9-4MI-30X		11,4	13,0	16,3	19,6	21,2	24,6
Z9-6MM-30X	10,1*	22,8	28,5	42,0	58,2	67,2		Z9-6MM-30X	12,7*	17,3	19,8	25,3	31,2	34,3	
Z9-4MJ-33X		17,0	21,8	33,2	46,9	54,6	71,6	Z9-4MJ-33X		12,4	14,2	17,9	21,8	23,8	27,8
W99-4MK-35X		18,9	24,1	36,5	51,3	59,6	77,8	W99-4MK-35X		14,1	16,2	20,5	25,2	27,6	32,4
W99-6MI-40X		22,1	28,2	42,3	58,8	67,9		W99-6MI-40X		16,8	19,3	24,8	30,6	33,6	

Warunki: EN13215: temp. gazu na ssaniu 20°C, dochłodzenie 0 K

*Przegrzanie par na ssaniu 10 K

R407C	Wydajność chłodnicza (kW)							R407C	Moc zasilania (kW)						
	Temperatura parowania (°C)								Temperatura parowania (°C)						
Model	-45	-35	-30	-20	-10	-5	+5	Model	-45	-35	-30	-20	-10	-5	+5
Z9-4MA-22X				20,0	30,4	36,7	51,5	Z9-4MA-22X				10,7	12,9	13,9	16,0
Z9-4MH-25X				22,7	34,8	42,0	58,8	Z9-4MH-25X				12,2	14,8	16,1	18,8
Z9-4MI-30X				25,3	38,3	46,0	64,0	Z9-4MI-30X				13,4	16,4	18,0	21,1
Z9-4MJ-33X				27,8	42,0	50,4	69,6	Z9-4MJ-33X				14,8	18,4	20,2	24,3
W99-4MK-35X				31,9	47,7	56,9	77,5	W99-4MK-35X				16,9	21,2	23,5	28,5
W99-6MI-40X				36,2	53,5	63,3	84,5	W99-6MI-40X				20,0	25,5	28,4	34,9

Warunki: EN13215: temp. gazu na ssaniu 20°C, dochłodzenie 0 K

Przegrzanie par na ssaniu 10 K

Dane wstępne

Kody silników

Półhermetyczne						
Półhermetyczne	Napięcie	Podłączenie		Półhermetyczne	Napięcie	Podłączenie
Wersja ze standardowym silnikiem						
CAG	220-230/1/50	-				
EWL (DK, DL, D2S)	220-240/3/50	Δ		EWN (DK, DL, D2S)	250-280/3/60	Δ
EWL (DK, DL, D2S)	380-420/3/50	Y		EWN (DK, DL, D2S)	440-480/3/60	Y
AWM	380-420/3/50	YY/Y		AWD	440-480/3/60	YY/Y
Wersja ze specjalnym silnikiem						
EWM	380-420/3/50	Δ/Y-Start		EWD	440-480/3/60	Δ/Y-Start
AWR	220-240/3/50	YY/Y		EWK (not D8)	220-240/3/60	Δ
AWY	500-550/3/50	YY/Y		EWK (not D8)	380-420/3/60	Y
				AWC	208-230/3/60	YY/Y
				AWX	380/3/60	YY/Y
Hermetyczne i spiralne						
Półhermetyczne	Napięcie	Podłączenie		Półhermetyczne	Napięcie	Podłączenie
Wersja ze standardowym silnikiem						
PFJ	220-240/1/50	-		PFJ	265/1/60	-
PFT	220-240/1/50	-				
PFZ	220-240/1/50	-				
TFD	380-420/3/50	Y		TFD	460/3/60	Y
TFM	380-420/3/50	Y				
TWD	380-420/3/50	Y		TWD	460/3/60	Y
FWD	380-420/3/50	Δ/Δ				
FWM	380-420/3/50	Δ/Δ				
TWM	380-420/3/50	Y				
Wersja ze specjalnym silnikiem						
TF5	200-220/3/50	Y		TF5	200-230/3/60	Y
TWR	220-240/3/50	Y		TW7	380/3/60	Y
TWC	200/3/50	Y		TWC	208-230/3/60	Y
TFE	500/3/50	Y		TFE	575/3/60	Y
TWE	500/3/50	Y		TWE	575/3/60	Y
				TF7	380/3/60	Y
TW5	200-220/3/50	Y		TW5	220-230/3/60	Y
Wersja z silnikiem ze zmienną prędkością obrotową						
1E9	BPM Motor	-				

YY/Y = rozruch z częściowym uzwojeniem

Δ/Δ = rozruch z częściowym uzwojeniem